

Παράμετροι	Εύρος τιμών		Προτεινόμενη Τιμή
Φαινόμενο Βάρος υγρό γ_t (kN/m ³)	17	20	18
Ενεργός συνοχή, c' (kPa)	5	15	10
Ενεργός γωνία διατμητικής αντοχής, ϕ' (°)	30	34	32
Μέτρο ελαστικότητας, E' (MPa)	3	10	8

Λαμβάνοντας υπόψη τα αποτελέσματα των επιτόπου δοκιμών, καθώς επίσης και την ευνοϊκή επίδραση του ποσοστού σε αδρόκοκκο υλικό που παρουσιάζει ο σχηματισμός, οι ακόλουθες παράμετροι κρίνονται αντιπροσωπευτικές για την αμμοχαλικώδη φάση του σχηματισμού f_g .

Παράμετροι	Εύρος τιμών		Προτεινόμενη Τιμή
Φαινόμενο Βάρος υγρό γ_t (kN/m ³)	17	21	19
Ενεργός συνοχή, c' (kPa)	5	10	5
Ενεργός γωνία διατμητικής αντοχής, ϕ' (°)	35	40	36
Μέτρο ελαστικότητας, E' (MPa)	12	18	16

6 ΓΕΩΤΕΧΝΙΚΟΙ ΥΠΟΛΟΓΙΣΜΟΙ

6.1 ΦΕΡΟΥΣΑ ΙΚΑΝΟΤΗΤΑ ΕΔΑΦΟΥΣ – ΕΠΙΤΡΕΠΟΜΕΝΗ ΤΑΣΗ

6.1.1 Μεθοδολογία

Σύμφωνα με τον EN1997-1 θα πρέπει να ικανοποιείται η ακόλουθη ανισότητα για όλες τις οριακές καταστάσεις:

$$V_d \leq R_d \quad (1)$$

Όπου, R_d είναι η παράμετρος σχεδιασμού για την αντίσταση του εδάφους (φέρουσα ικανότητα) και V_d είναι η παράμετρος σχεδιασμού για όλες τις δυνάμεις που δρουν στο επίπεδο της θεμελίωσης συμπεριλαμβανομένου του ιδίου βάρους του θεμελίου, του βάρους οποιοδήποτε υλικού επανεπίχωσης και τις εδαφικές πιέσεις, είτε είναι ευμενείς είτε δυσμενείς. Υδραυλικές πιέσεις που δεν οφείλονται στα φορτία της θεμελίωσης πρέπει να λαμβάνονται ως δράσεις.

Στην Ελλάδα οι υπολογισμοί πραγματοποιούνται σύμφωνα με τον Τρόπο ανάλυσης ΤΑ-2*. Η οριακή αντίσταση σχεδιασμού R_d υπολογίζεται από τη χαρακτηριστική τιμή αντοχής R_k διαιρούμενη από τον ισοδύναμο επιμέρους συντελεστή ($\gamma_{R,v}$), ο οποίος είναι ίσος με 1.4 για συνθήκες στατικής φόρτισης και 1.0 για συνθήκες δυναμικής φόρτισης (σεισμός).

$$R_d = R_k / \gamma_R \quad (2)$$

Με τον Τρόπο Ανάλυσης DA-2 είναι ευχερής η συσχέτιση του γνωστού ενιαίου συντελεστή ασφαλείας $FS = R_k / E_k$ με τους επιμέρους συντελεστές κατά τη σχέση:

$$FS = \gamma_E \gamma_R \quad (3)$$

όπου γ_E δίνεται από τον Πίνακα A.3 και γ_R από τον Πίνακα A.5 στο Παράρτημα A του EC-7 (EN 1997-1:2004).

Η χαρακτηριστική τιμή της οριακής πίεσης, q_{ult} , δίνεται από τη γενική σχέση:

$$q_{ult} = c' N_c s_c d_c i_c g_c b_c + q' N_q s_q d_q i_q g_q b_q + 0.5 \gamma' BN_\gamma s_\gamma d_\gamma i_\gamma g_\gamma b_\gamma \quad (4)$$

όπου:

c' : ενεργός συνοχή

γ' : φαινόμενο ενεργό βάρος υποκείμενων εδαφικών στρώσεων

B : πλάτος θεμελίωσης

q' : ενεργός τάση υπερκειμένων

s_c, s_γ, s_γ : συντελεστές επιρροής σχήματος

d_c, d_γ, d_γ : συντελεστές επιρροής βάθους

i_c, i_γ, i_γ : συντελεστές λοξότητας φορτίου

g_c, g_γ, g_γ : συντελεστές λοξότητας εδάφους

b_c, b_γ, b_γ : συντελεστές λοξότητας βάσης

$$N_q = e^{\pi \tan \phi} \tan^2 \left(45 + \frac{\phi}{2} \right)$$

$$N_c = (N_q - 1) / \tan \phi$$

$$N_\gamma = 2(N_q - 1) \tan \phi$$

6.1.2 Πρόταση αρχιτεκτονικής μελέτης

Σύμφωνα με την αρχιτεκτονική μελέτη, για την αναστήλωση του μνημείου προτείνονται οι ακόλουθες δράσεις:

- Αναστήλωση του νότιου στυλοβάτη,
- Αναστήλωση των κιονοστοιχιών της εκκλησίας
- Αναστήλωση και συμπλήρωση της κόγχης και των τοξωτών παραθύρων του ιερού

Για τους υπολογισμούς, η έδραση των αναστηλωμένων μελών μπορεί να θεωρηθεί ότι λαμβάνει χώρα είτε επί του γεωλογικού υποβάθρου και συγκεκριμένα επί της λεπτόκοκκης φάσης των κατώτερων φυσικών προσχώσεων $f(s)$, είτε επί των τεχνητών επιχώσεων (w), που δημιουργήθηκαν στο πλαίσιο κατασκευής και λειτουργίας του αρχαιολογικού χώρου. Τα δύο στρώματα εμφανίζουν παρεμφερείς γεωτεχνικές ιδιότητες και κρίνονται κατάλληλα για έδραση. Η αδρομερείς φάση του σχηματισμού $f(g)$ του γεωλογικού υποβάθρου, που περιλαμβάνει φακούς ιλυωδών αμμοχάλικων ή χαλικώδους άμμου με ιλύ ή άργιλο, συντηρητικά, δεν λαμβάνεται υπόψη, καθώς δεν εντοπίζεται ως ενιαία στρώση, ενώ οι περιοχές εμφάνισης και η έκταση που καταλαμβάνουν δεν έχουν συστηματικό χαρακτήρα.

6.1.3 Υπολογισμοί φέρουσας ικανότητας

Πραγματοποιήθηκε έλεγχος για στραγγιζόμενες συνθήκες. Θεωρήθηκε συντηρητικά μονοστρωματικό έδαφος με τις ιδιότητες της λεπτόκοκκης φάσης των κατώτερων φυσικών προσχώσεων $f(s)$, ως δυσμενέστερο. Ο υδροφόρος ορίζοντας λαμβάνεται συντηρητικά στη σημερινή επιφάνεια του εδάφους. Γίνονται παραμετρικοί υπολογισμοί για διάφορες διαστάσεις των θεμέλιων λίθων κατά την διεύθυνση L . Τα αποτελέσματα των υπολογισμών φέρουσας ικανότητας παρουσιάζονται αναλυτικά στο Παράρτημα Δ και συνοπτικά στον Πίνακα 6.1.

Πίνακας 6.1: Συνοπτικά αποτελέσματα υπολογισμών φέρουσας ικανότητας για επιφανειακή θεμελίωση και θεμέλια πλάτους B από 0.7 έως 3.0m σε στραγγιζόμενες συνθήκες

B (m)	0.7	0.7	0.7	0.7	0.7	0.7
L (m)	0.70	1.00	1.50	2.00	2.50	3.00
ex (m)	0	0	0	0	0	0
ey (m)	0	0	0	0	0	0
B' (m)	0.70	0.70	0.70	0.70	0.70	0.70
L' (m)	0.70	1.00	1.50	2.00	2.50	3.00
R/A (kPa)	663	616	579	561	550	543
Rk (kN)	325	431	608	785	963	1,140
Rd (kN)	232	308	434	561	688	814

όπου

B	Πλάτος Θεμελίου
L	Μήκος Θεμελίου
B', L'	Απομειωμένο πλάτος και μήκος
e _x	Εκκεντρότητα κατά το B
R/A [p _u]	χαρακτηριστική τιμή οριακής πίεσης του εδάφους
R _k [V _{uk}]	χαρακτηριστική τιμή της οριακής αντίστασης του εδάφους
R _d	Τιμή σχεδιασμού της οριακής (κατακόρυφης) αντίστασης

Η ανισότητα $V_d \leq R_d$ ισχύει σε όλους τους ελέγχους οπότε η θεμελίωση είναι επαρκής έναντι υπέρβασης της φέρουσας ικανότητας. Για τους στατικούς υπολογισμούς προτείνεται να ληφθούν συντηρητικά τιμή οριακής πίεσης εδάφους ίση με 350kPa.

6.2 ΚΑΘΙΖΗΣΗ

Για τον υπολογισμό των καθιζήσεων εφαρμόσθηκε η μέθοδο των Steinbrenner και Fox. Σε ότι αφορά τις ιδιότητες του εδάφους θεωρήθηκε σαν ελαστικός ισότροπος ημίχωρος με σταθερές ιδιότητες E, ν σε κάθε εδαφική του στρώση. Σύμφωνα με τη μέθοδο αυτή υπολογίζεται το σύνολο των καθιζήσεων. Για τους υπολογισμούς χρησιμοποιήθηκαν οι προτεινόμενες χαρακτηριστικές τιμές για κάθε σχηματισμό. Πραγματοποιήθηκαν παραμετρικές αναλύσεις για αναπτυσσόμενες τάσεις στη στάθμη θεμελίωσης 50, 100 και 150kPa. Θεωρήθηκε ότι η θεμελίωση δεν εγκιβωτίζεται.

Για τους υπολογισμούς λήφθηκε επαυξημένο μέτρο ελαστικότητας για τους σχηματισμούς του υποβάθρου (τριπλάσιο της χαρακτηριστικής τιμής), θεωρώντας ότι το πεδίο των τάσεων θα κινηθεί στον κλάδο της επαναφόρτισης. Η πρόσθετη φόρτιση που αφορά στην αναστήλωση των μελών του μνημείου θεωρήθηκε ότι αποτελεί επαναφόρτιση του εδάφους, πρόκειται δηλαδή για επιβολή φορτίου που υπήρχε ήδη στις αντίστοιχες θέσεις, στο παρελθόν. Το βάθος επιρροής κάθε θεμελίου για τον υπολογισμό της καθίζησης θεωρήθηκε ότι είναι ίσο τουλάχιστο με 3B.

Η μέθοδος κατά Steinbrenner και Fox υπολογίζει τις καθιζήσεις στη γωνία s_{corner} και στο κέντρο του θεμελίου s_{center} για απολύτως εύκαμπτη φορτίζουσα επιφάνεια. Για τη διόρθωση των καθιζήσεων χρησιμοποιήθηκε η πρόταση των Davis-Poulos (1960):

$$s_{rigid} = (s_{center} + s_{corner})_{flexible}/2$$

Τα αποτελέσματα παρουσιάζονται συνοπτικά στον παρακάτω Πίνακα 6.2 και αναλυτικά στο Παράρτημα Δ.

Πίνακας 6.2: Εκτιμώμενες καθιζήσεις για διάφορες αναπτυσσόμενες τάσεις

Διαστάσεις θεμελίωσης	Αναπτυσσόμενη τάση στη στάθμη θεμελίωσης	Καθίζηση στο άκρο	Καθίζηση στο κέντρο	Συνολική καθίζηση
(m ²)	(kPa)	(cm)	(cm)	(cm)
0.7 x 1.0	50	0.08	0.17	0.12
	100	0.16	0.34	0.25
	150	0.24	0.51	0.38
0.7 x 1.5	50	0.09	0.20	0.15
	100	0.19	0.40	0.29
	150	0.28	0.59	0.44
0.7 x 3.0	50	0.11	0.25	0.18
	100	0.22	0.49	0.36
	150	0.34	0.73	0.54

6.3 ΚΑΤΑΚΟΡΥΦΟΣ ΔΕΙΚΤΗΣ ΕΔΑΦΟΥΣ

Ο δείκτης υπολογίζεται χρησιμοποιώντας την ακόλουθη εξίσωση, όπου q είναι η ασκούμενη τάση και s η αντίστοιχη καθίζηση που θα υποστεί η κατασκευή.

$$ks=q/s \text{ [kPa/m]}$$

Για σεισμικές συνθήκες θεωρείται συντηρητικά ότι μπορεί να χρησιμοποιηθεί ο ίδιος δείκτης εδάφους στη στατική ανάλυση.

Για τους στατικούς υπολογισμούς προτείνεται να διερευνηθεί η επίδραση στην στατική ανάλυση εύρους διακύμανσης τιμών από **15 - 30MPa/m**.

7 ΕΙΔΙΚΑ ΘΕΜΑΤΑ

7.1 Υφιστάμενη κατάσταση - Προβλήματα

Το αντικείμενο της μελέτης αποκατάστασης του εργαστηρίου του Φειδία, ενός από τα σπουδαιότερα μνημεία της Ολυμπίας, περιλαμβάνει προστασία και παρουσίαση του μνημείου μέσω της επίλυσης των χρόνιων προβλημάτων συντήρησης, καθώς και μέσω προσπάθειας αναίρεσης των προβλημάτων που προέκυψαν αθροιστικά στο μνημείο από τις αρχαιολογικές έρευνες του παρελθόντος. Τα κυριότερα προβλήματα που παρουσιάζονται και που αποτελούν αντικείμενο και της γεωτεχνικής μελέτης, είναι τα ακόλουθα:

1. Η συσσώρευση υδάτων εντός του μνημείου μετά από βροχοπτώσεις (Εικόνα 9.1)
2. Το βάθος ανασκαφής που αφήνει εκτεθειμένες τις υποθεμελίωσεις των τοίχων της βασιλικής - κιονοστοιχίες και ενδιάμεσοι τοίχοι (Εικόνα 9.2).
3. Η αναστήλωση του νότιου στυλοβάτη και η αναστήλωση και συμπλήρωση της κόγχης και των τοξωτών παραθύρων της.
4. Η επίχωση και θεμελίωση αναλημμάτων και μικρών κατασκευών

Λοιπά προβλήματα που αφορούν σε ανάπτυξη βλάστησης σε τοίχους, ύπαρξη πλήθους αρχιτεκτονικών μελών διάσπαρτων στο χώρο, κόγχη και νότιο στυλοβάτη σε ερειπιώδη κατάσταση, προβλήματα πρόσβασης κ.α. αναφέρονται αναλυτικά στην Αρχιτεκτονική μελέτη.



Εικόνα 9.1: Εργαστήριο Φειδία (Βασιλική). Συσσώρευση υδάτων εντός του μνημείου (DAI ATHEN). [Πηγή: Αποκατάσταση του εργαστηρίου του Φειδία (Βασιλικής) στην Ολυμπία. Αρχιτεκτονική Προμελέτη, Μπιλής, Θ. & Σωτηρόπουλος, Α. (2020), Γερμανικό Αρχαιολογικό Ινστιτούτο (DAI)].



Εικόνα 9.2: Εργαστήριο Φειδία (Βασιλική). Το βάθος της ανασκαφής αφήνει εκτεθειμένη την υποθεμελίωση των στοιχείων (στυλοβάτες άμβωνα κα) (DAI ATHEN). [Πηγή: Αποκατάσταση του εργαστηρίου του Φειδία (Βασιλικής) στην Ολυμπία. Αρχιτεκτονική Προμελέτη, Μπιλής, Θ. & Σωτηρόπουλος, Α. (2020), Γερμανικό Αρχαιολογικό Ινστιτούτο (DAI)].

7.2 Προτεινόμενα έργα

7.2.1 Αποστράγγιση αρχαιολογικού χώρου

Από έρευνες στον ευρύτερο αρχαιολογικό χώρο έχει διαπιστωθεί ότι η στρώση θεμελίωσης των αρχαίων κατασκευών είναι αμφοχαλικώδους σύστασης με επαρκή υδροπερατότητα ώστε να απορροφά το νερό της βροχής. Συνθήκες λιμναζόντων υδάτων παρατηρούνται όπου υπάρχει επιφανειακή στρώση χαμηλής υδροπερατότητας.

Από την αρχαιολογική μελέτη προτείνεται η επίχωση του χώρου εσωτερικά μέχρι το ύψος του δαπέδου της κλασικής φάσης του μνημείου, δηλαδή σε κατώτερη στάθμη έναντι αυτής της Βασιλικής.

Για την αντιμετώπιση του προβλήματος της συσσώρευσης των υδάτων συνδυαστικά με την αρχιτεκτονική πρόταση, η επίχωση προτείνεται να πραγματοποιηθεί με χρήση ελευθέρως στραγγιζόμενων υλικών. Τα ελευθέρως στραγγιζόμενα υλικά, με την κατάλληλη κοκκομετρική διαβάθμιση, έχουν υψηλή υδροπερατότητα και θα επιτρέπουν την κατείσδυση των επιφανειακών υδάτων προς τα υποκείμενα υδροπερατά στρώματα.

Σε ιδιαίτερα μεγάλη βροχόπτωση, η οποία θα έχει διάρκεια ημερών, δύναται να δημιουργηθεί στάθμη υδάτων εντός της επίχωσης, εάν ο ρυθμός κατείσδυσης είναι μικρότερος του ρυθμού

συσσώρευσης των υδάτων. Για την περίπτωση αυτή προτείνεται η τοποθέτηση συστήματος εύκαμπτων, πλαστικών διάτρητων αποστραγγιστικών σωλήνων διαμέτρου Φ100, εντός της επίχωσης, με κατάλληλη διάταξη που θα αποτελείται από έναν κύριο κατά μήκος σωλήνα με διεύθυνση από τα Δυτικά προς τα Ανατολικά και εγκάρσιους ή/και διαμήκεις δευτερεύοντες αποστραγγιστικούς σωλήνες που συμβάλλουν στον κεντρικό. Ο κεντρικός σωλήνας θα ξεκινάει από τον Δυτικό τοίχο της Βασιλικής και θα καταλήγει στην περιοχή της κόγχης. Η έξοδός του θα διαμορφωθεί στο τμήμα που πρόκειται να αναστηλωθεί και θα βρίσκεται υψηλότερα περίπου 20εκ από το φυσικό έδαφος στην εξωτερική πλευρά της όψης της κόγχης. Όπου κατά την διαδρομή των αποστραγγιστικών σωλήνων απαντάται εμπόδιο (αρχαίο μέλος), αυτό θα παρακάμπτεται οριζοντιογραφικά με μετατόπιση του εύκαμπτου σωλήνα προκυμμένου να διέρχεται δίπλα από το εμπόδιο.

Συμπληρωματικά, για την ενίσχυσης της δυνατότητας ταχύτερης αποστράγγισης προτείνεται η διάνοιξη των παλαιών ανασκαφών στην αυλή της εκκλησίας (δυτικά, σε παράλληλη ζώνη με τον δυτικό τοίχο του μνημείου), μέχρι βάθους 1.0m από την σημερινή επιφάνεια του εδάφους και η επανεπίχωσή τους με γαρμπτίλι.

Ο αποστραγγιστικός σωλήνας θα είναι του τύπου που παρουσιάζεται στην Εικόνα 9.3.



Εικόνα 9.3: Τύπος διάτρητου αποστραγγιστικού σωλήνα

Ο αποστραγγιστικός σωλήνας θα περιβάλλεται σε όλο το μήκος από γεωύφασμα, ενώ στη συμβολή του κύριου σωλήνα με τους δευτερεύοντες θα δημιουργηθεί σύνδεση σύμφωνα με τις λεπτομέρειες που παρουσιάζονται στο Σχέδιο Γ-2. Η διάταξη παρουσιάζεται οριζοντιογραφικά και μηκοτομικά στο Σχέδιο Γ-2.

Οι σωλήνες θα τοποθετηθούν με κατά μήκος κλίση τουλάχιστον 0.5%. Το ελάχιστο πάχος επίχωσης πάνω από την ανώτερη στάθμη των σωλήνων θα είναι 15εκ.

Με το ανωτέρω σύστημα αποστράγγισης τα επιφανειακά ύδατα θα οδηγούνται προς τα υποκείμενα στρώματα του υποβάθρου από τα οποία θα απομακρύνονται με κατείσδυση, και σε περίπτωση ιδιαίτερα δυσμενών συνθηκών με φυσική απορροή μέσω και του συστήματος των εύκαμπτων σωλήνων αποστράγγισης.

7.2.2 Επίχωση παλαιών ανασκαφών

Σύμφωνα με την αρχιτεκτονική μελέτη προτείνεται να γίνει επίχωση του υφιστάμενου δαπέδου μέχρι τη στάθμη δαπέδου της κλασικής φάσης του μνημείου, προκειμένου να καλυφθεί το βάθος

ανασκαφής που αφήνει εκτεθειμένες τις υποθεμελίωσεις των τοίχων, που περιλαμβάνουν τις κιονοστοιχίες και τους ενδιάμεσους τοίχους. Η επίχωση (πλήρωση) θα γίνει με υλικά που να εξυπηρετούν, πέραν από την κάλυψη των εκτεθειμένων υποθεμελιώσεων και την αποστράγγιση του αρχαιολογικού χώρου, όπως εκτενώς αναφέρεται στην προηγούμενη παράγραφο.

Η επίχωση θα κατασκευαστεί από καταλλήλως διαβαθμισμένα υλικά.

Στα ανώτερα 10cm προτείνεται η δημιουργία μίας επιφανειακής στρώσης που θα αποτελείται από άμμο λατομείου. Η κοκκομετρική διαβάθμιση του υλικού θα είναι: Άμμος διαστάσεων κόκκων από 0 έως 4mm. Η περιεκτικότητά της σε λεπτόκοκκα θα πρέπει να είναι μικρότερη από 15%. Η επιφανειακή αυτή στρώση θα εξυπηρετεί την στράγγιση, ενώ παράλληλα θα δημιουργεί ένα κατάλληλο δάπεδο βάδισης για την επίσκεψη του αρχαιολογικού χώρου.

Η υποκείμενη στρώση της άμμου θα αποτελείται από γαρμπίλι λατομείου. Η κοκκομετρική διαβάθμιση του υλικού θα είναι: χαλίκια διαστάσεων κόκκων από 4 έως 20mm, με γωνιώδες και ακανόνιστο σχήμα και δεν θα περιέχει λεπτόκοκκα. Η στρώση αυτή θα εξυπηρετεί την κατείσδυση των επιφανειακών υδάτων προς το γεωλογικό υπόβαθρο και το σύστημα αποστράγγισης από εύκαμπτου αποστραγγιστικούς σωλήνες.

Για την συμπύκνωση του κυρίως υλικού επίχωσης (γαρμπίλι), θα κατασκευαστούν ισοπαχείς στρώσεις, αρχικού πάχους 20cm, που θα συμπυκνώνονται με ελαφρά μέσα συμπύκνωσης. Σε κάθε θέση θα κατασκευαστεί κατάλληλος αριθμός στρώσεων μέχρι το επιθυμητό τελικό υψόμετρο. Αντίστοιχη διαδικασία θα γίνει για την στρώση της άμμου, σε μία στρώση, με αρχικό πάχος στρώσης της τάξεως των 12-15cm.

Η επιφάνεια κάθε στρώσης θα είναι επίπεδη και θα συμπυκνώνεται επιμελώς με προσθήκη ελαφράς υγρασίας, ώστε να επιτευχθεί πυκνότητα ίση κατ' ελάχιστον προς το 90% της μέγιστης εργαστηριακής πυκνότητας που επιτυγχάνεται κατά την δοκιμή συμπύκνωσης (Standard Proctor).

Η συμπύκνωση μπορεί να γίνει με δόνηση, διαβροχή ή κυλίνδρωση. Σε περίπτωση χρήσης δονητικού συμπυκνωτικού μηχανήματος, η δόνηση δεν θα χρησιμοποιηθεί σε απόσταση μικρότερη από 0.5m από τις κατασκευές του μνημείου.

7.2.3 Θεμελίωση αναστήλωσης νότιου στυλοβάτη και κόγχης

Η θεμελίωση των αναστηλωμένων μελών του νότιου στυλοβάτη και της κόγχης προτείνεται να πραγματοποιηθεί είτε επί της λεπτόκοκκης φάσης των κατώτερων φυσικών προσχώσεων f(s), είτε επί των τεχνητών επιχώσεων (w). Τα δύο στρώματα εμφανίζουν παρεμφερείς γεωτεχνικές ιδιότητες και κρίνονται κατάλληλα για έδραση. Σύμφωνα με τα αποτελέσματα των γεωτεχνικών υπολογισμών, η θεμελίωση των αναστηλωμένων μελών στις στρώσεις αυτές είναι επαρκής έναντι υπέρβασης της φέρουσας ικανότητας. Οι υπολογισμοί πραγματοποιήθηκαν με τις ιδιότητες της λεπτόκοκκης φάσης των κατώτερων φυσικών προσχώσεων f(s), που θεωρείται δυσμενέστερη.

Η στρώση των επανεπιχώσεων των ανασκαφών (Mallwitz) (r) δεν θεωρείται κατάλληλος σχηματισμός για έδραση κατασκευών που φέρουν σημαντικά φορτία (νότιος στυλοβάτης, κόγχη).

Συνιστούμε, η θεμελίωση των προαναφερόμενων κατασκευών να πραγματοποιηθεί με λιθοδομή.

Για την προετοιμασία του επιπέδου έδρασης προτείνεται να δημιουργηθεί μία βάση από κοκκώδες υλικό (άμμο ή γαρμπίλι). Η βάση θα έχει πλάτος αντίστοιχο με το θεμέλιο + 20cm εκατέρωθεν και τελικό ύψος 10cm, μετά από συμπύκνωση.

7.2.4 Επίχωση και Θεμελίωση αναλημμάτων, μικρών κατασκευών

Για την εξασφάλιση της πρόσβασης στον αρχαιολογικό χώρο προβλέπεται η δημιουργία αναλημμάτων μικρού ύψους. Τα αναλήμματα μπορούν να επιχωθούν κατά τον ίδιο τρόπο που επιχώνεται ο αρχαιολογικός χώρος. Το κύριο τμήμα της επίχωσης θα αποτελείται από γαρμπίλι λατομείου το οποίο επιφανειακά θα καλύπτεται από στρώση άμμου λατομείου πάχους 10cm. Οι προδιαγραφές των υλικών και το τρόπος διάστρωσης και συμπύκνωσης είναι ως αναφέρονται στην παρ. 7.2.2 της παρούσας.

Η θεμελίωση των τοιχίων αντιστήριξης των αναλημμάτων και των μικρών κατασκευών μπορεί να πραγματοποιηθεί επί της επίχωσης των παλαιών ανασκαφών, εφόσον έχει πραγματοποιηθεί η προβλεπόμενη συμπύκνωση μέχρι την επιθυμητή στάθμη θεμελίωσης. Εφόσον προβλέπεται θεμελίωση στο επίπεδο του φυσικού εδάφους επίπεδο προτείνεται να προηγηθεί η δημιουργία βάσης από κοκκώδες υλικό (άμμο ή γαρμπίλι). Η βάση θα έχει πλάτος αντίστοιχο με το θεμέλιο του του στοιχείου αντιστήριξης + 20cm εκατέρωθεν και τελικό ύψος 10cm, μετά από συμπύκνωση.

Για την ΕΔΑΦΟΣ ΣΥΜΒΟΥΛΟΙ ΜΗΧΑΝΙΚΟΙ ΑΕ

Ευρυβιάδης Λυμπέρης

Γεωλόγος MSc

Σακελλαρίου Σοφία

Πολιτικός Μηχανικός DEA

Γιώργος Ντουνιάς

Δρ. Πολιτικός Μηχανικός

ΕΔΑΦΟΣ ΣΥΜΒΟΥΛΟΙ ΜΗΧΑΝΙΚΟΙ Α.Ε.
 ΥΠΕΡΕΙΔΟΥ 9 · ΑΘΗΝΑ, Τ.Κ. 105 58
 ΤΗΛ. 210-3222050 · 210-3222072 · FAX: 210-3241557
 ΑΦΜ: 093678181 - ΔΙΥ: ΦΙΕΕ ΑΘΗΝΩΝ
 ΑΡ. Μ.Α.Ε.: 65306/01Ε/08/66 - ΑΡ. Σ.Α.Κ.: 373 14

Το παρόν σχέδιο συνοδεύει
 την με αριθ. πρωτ. 260562 / 7-6-2021
 ΥΠ.ΠΟ.Α./ΓΔΑΜΤΕ/ΔΑΒΜΜ...../
 Απόφαση.



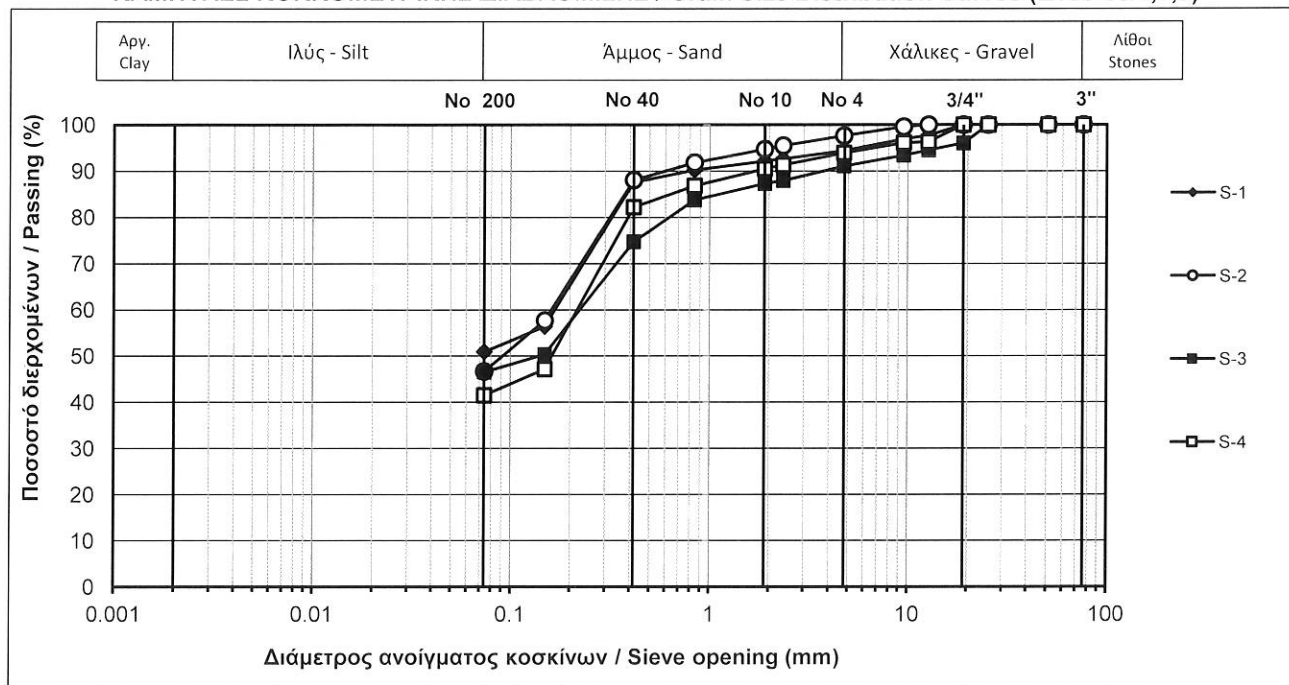
ΠΑΡΑΡΤΗΜΑ Α

ΑΠΟΤΕΛΕΣΜΑΤΑ ΕΡΓΑΣΤΗΡΙΑΚΩΝ ΔΟΚΙΜΩΝ

Έργο/ Project: Restoration works for the Pheidias Workshop at Ancient Olympia. Geological and Geotechnical investigations and design.

Δείγματα / Samples: S-1, S-2, S-3, S-4

ΚΑΜΠΥΛΕΣ ΚΟΚΚΟΜΕΤΡΙΚΗΣ ΔΙΑΒΑΘΜΙΣΗΣ / Grain Size Distribution Curves (E105-86/1,7,9)



ΑΠΟΤΕΛΕΣΜΑΤΑ ΔΟΚΙΜΩΝ ΚΑΤΑΤΑΞΗΣ / Classification Tests Results (E105-86/1,2,3,4,5,6)

Δείγμα / Sample:	S-1	S-2	S-3	S-4
Ποσ. Υγρασίας / Water content (%)	11.0	13.9	6.5	9.0
Οριο υδαρότητας / Liquid limit (%)	N.P.	N.P.	N.P.	N.P.
Οριο πλαστικότητας / Plastic limit (%)				
Δεικτης πλαστικότητας / Plasticity Index	-	-	-	-
Ξηρό φαινόμενο βάρος / Dry unit weight (kN/m³)	-	-	-	-
Ειδικό βάρος στερεών / Specific gravity (-)	-	-	-	-
Ποσ. Οργανικών / Organic content (%)	-	-	-	-
Κατάταξη / Classification (USCS)	ML	SM	SM	SM

ΑΠΟΤΕΛΕΣΜΑΤΑ ΚΟΚΚΟΜΕΤΡΙΚΗΣ ΔΙΑΒΑΘΜΙΣΗΣ / Grain Size Distribution Data

ΑΜΜΟΣ / SAND	ΧΑΛΙΚΕΣ / GRAVEL	Κόσκινο Sieve	Διάμετρος Opening (mm)	Διερχόμενο Passing (%)	Κλάσματα Fractions (%)						
Χονδροί Coarse	Λεπτοί Fine	3''	76.2	100.0	0.0	100.0	0.0	100.0	4.0	100.0	0.0
		2''	50.8	100.0		100.0		100.0		100.0	
		1''	25.4	100.0		100.0		100.0		100.0	
		3/4''	19.1	100.0		100.0		96.0		100.0	
Χονδρή Coarse	Μέση Medium	1/2''	12.7	97.7	5.6	100.0	2.4	94.5	5.0	96.3	6.1
		3/8''	9.5	97.0		99.6		93.4		96.1	
		No 4	4.8	94.4		97.6		91.1		93.9	
		No 8	2.4	92.6		95.5	2.9	87.9	3.8	91.3	3.4
ΑΜΜΟΣ / SAND	Λεπτή Fine	No 10	1.9	92.2		94.7		87.3		90.5	
		No 20	0.840	90.2	4.6	91.8	6.7	83.8	12.6	86.8	8.3
		No 40	0.417	87.6		88.1		74.7		82.2	
		No 100	0.149	56.4	36.7	57.7	41.4	50.3	28.2	47.2	40.7
ΙΛΥΣ / SILT	ΑΡΓΙΛΟΣ / CLAY	No 200	0.074	50.9		46.7		46.6		41.5	
		-	-	50.9	-	46.7	-	46.6	-	-	41.5

Εκτέλεση δοκιμής / Test conducted by:

Χ.Βαγενάς / Ch.Vagenas

Δ.Σακκής / D.Sakkis

Μ.Τσουκαλαδάκης / M.Tsoukaladakis

Επεξεργασία δεδομένων/
Data processing:

Σ.Γρίφιζα /
S.Grifiza

Έλεγχος αποτελεσμάτων/
Results checked by:

Μ.Μπαρδάνης/
M.Bardanis

Το εργαστήριο εποπτεύεται από το ΚΕΔΕ

Εργ. Αρ.
Lab No.

036/2020/ 623-626

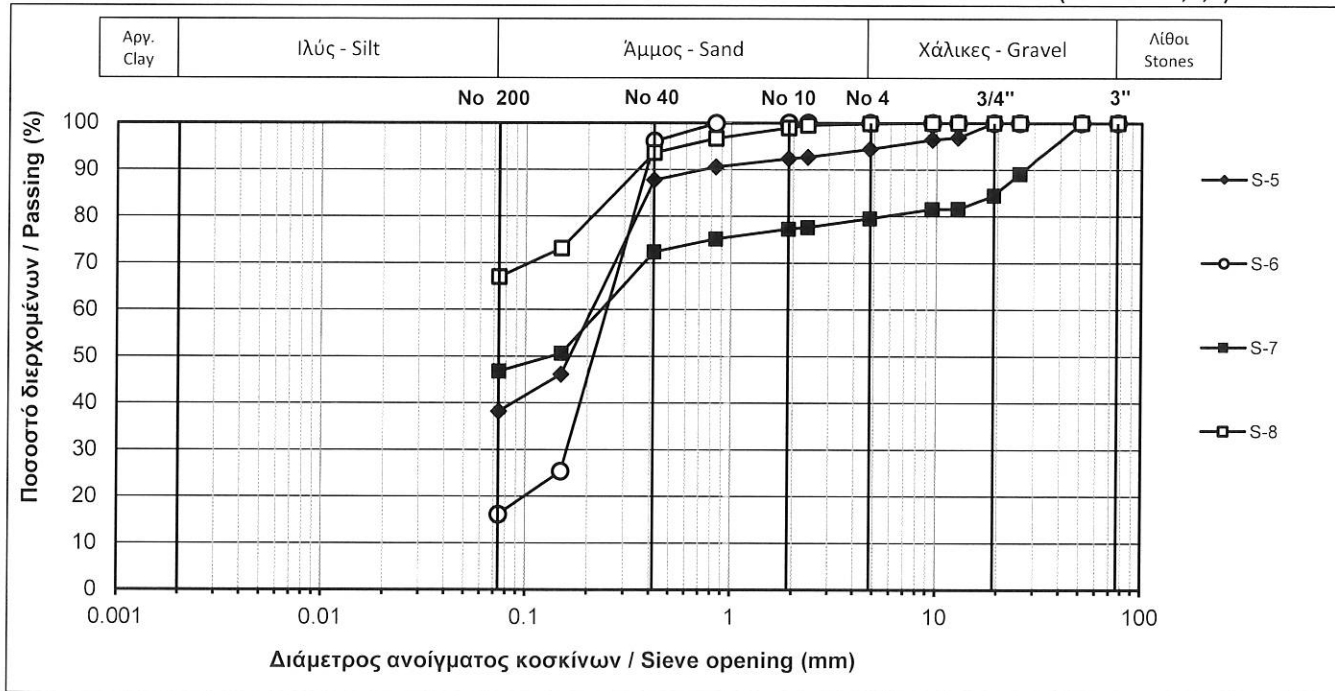
Σελ. 10

Σελ. / P. 1

Έργο/ Project: Restoration works for the Pheidias Workshop at Ancient Olympia. Geological and Geotechnical investigations and design.

Δείγματα / Samples: S-5, S-6, S-7, S-8

ΚΑΜΠΥΛΕΣ ΚΟΚΚΟΜΕΤΡΙΚΗΣ ΔΙΑΒΑΘΜΙΣΗΣ / Grain Size Distribution Curves (E105-86/1,7,9)



ΑΠΟΤΕΛΕΣΜΑΤΑ ΔΟΚΙΜΩΝ ΚΑΤΑΤΑΞΗΣ / Classification Tests Results (E105-86/1,2,3,4,5,6)

Δείγμα / Sample:	S-5	S-6	S-7	S-8
Ποσ. Υγρασίας / Water content (%)	6.1	6.5	4.3	3.6
Όριο υδαρότητας / Liquid limit (%)			26.8	
Όριο πλαστικότητας / Plastic limit (%)	N.P.	N.P.	16.9	N.P.
Δείκτης πλαστικότητας / Plasticity Index			9.9	
Ξηρό φαινόμενο βάρος / Dry unit weight (kN/m³)	-	-	-	-
Ειδικό βάρος στερεών / Specific gravity (-)	-	-	-	-
Ποσ. Οργανικών / Organic content (%)	-	-	-	-
Κατάταξη / Classification (USCS)	SM	SM	SC	ML

ΑΠΟΤΕΛΕΣΜΑΤΑ ΚΟΚΚΟΜΕΤΡΙΚΗΣ ΔΙΑΒΑΘΜΙΣΗΣ / Grain Size Distribution Data

ΑΜΜΟΣ / SAND	ΧΑΛΙΚΕΣ / GRAVEL	Kόσκινο Sieve	Διάμετρος Opening (mm)	Διερχόμενο Passing (%)	Κλάσματα Fractions (%)	Διερχόμενο Passing (%)	Κλάσματα Fractions (%)	Διερχόμενο Passing (%)	Κλάσματα Fractions (%)
Χονδρόι Coarse	Λεπτοί Fine	3"	76.2	100.0	0.0	100.0	0.0	100.0	0.0
		2"	50.8	100.0		100.0		100.0	
		1"	25.4	100.0		100.0		89.1	
		3/4"	19.1	100.0		100.0		84.5	
Χονδρή Coarse	Λεπτή Fine	1/2"	12.7	96.9	5.6	100.0	0.0	81.6	0.1
		3/8"	9.5	96.4		100.0		81.5	
		No 4	4.8	94.4		100.0		79.6	
		No 8	2.4	92.7		100.0		77.6	
Μέση Medium	Λεπτή Fine	No 10	1.9	92.3	2.1	100.0	0.0	77.3	0.9
		No 20	0.840	90.6		99.9		75.2	
		No 40	0.417	87.8		96.1		72.4	
		No 100	0.149	46.1		25.4		50.6	
ΑΙΓΑΛΙΟΣ / CLAY	ΙΛΥΣ / SILT	No 200	0.074	38.2	49.6	16.1	16.1	46.8	67.0
						38.2		-	

Εκτέλεση δοκιμής / Test conducted by:

X.Βαγενάς /Ch.Vagenas

Επεξεργασία δεδομένων / Data processing:

Δ.Σακκής /D.Sakkis

M.Τσουκαλαδάκης/ M.Tsoukaladakis

Έλεγχος αποτελεσμάτων / Results checked by:

Σ.Γρίφιζα / S.Grifiza

Μ.Μπαρδάνης/ M.Bardanis

To εργαστήριο εποπτεύεται από το ΚΕΔΕ

Εργ. Αρ.
Lab No.

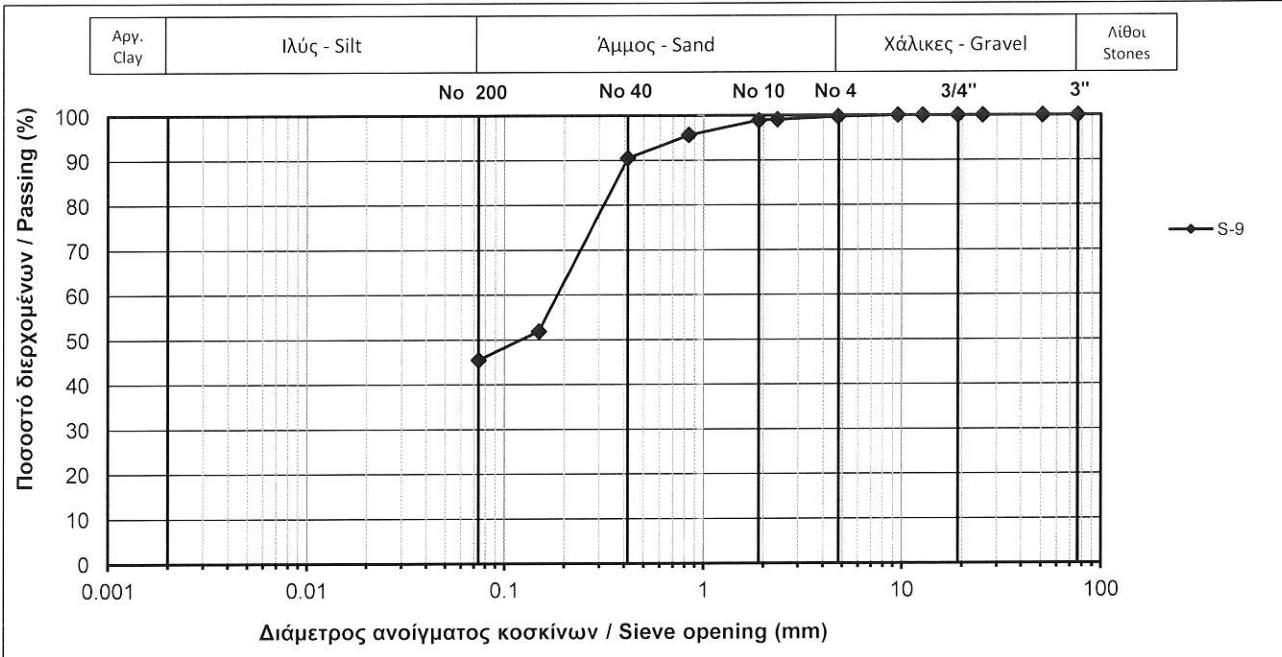
036/2020/ 627-630
Σελ. 40

Σελ. / P. 2

Έργο/ Project: Restoration works for the Pheidias Workshop at Ancient Olympia. Geological and Geotechnical investigations and design.

Δείγμα / Sample: S-9

ΚΑΜΠΥΛΕΣ ΚΟΚΚΟΜΕΤΡΙΚΗΣ ΔΙΑΒΑΘΜΙΣΗΣ / Grain Size Distribution Curves (E105-86/1,7,9)



ΑΠΟΤΕΛΕΣΜΑΤΑ ΔΟΚΙΜΩΝ ΚΑΤΑΤΑΞΗΣ / Classification Tests Results (E105-86/1,2,3,4,5,6)

Δείγμα / Sample:	S-9	-	-	-	-
Ποσ. Υγρασίας / Water content (%)	3.3	-	-	-	-
Οριο υδαρότητας / Liquid limit (%)		-	-	-	-
Οριο πλαστικότητας / Plastic limit (%)	N.P.	-	-	-	-
Δείκτης πλαστικότητας / Plasticity Index		-	-	-	-
Ξηρό φαινόμενο βάρος / Dry unit weight (kN/m³)	-	-	-	-	-
Ειδικό βάρος στερεών / Specific gravity (-)	-	-	-	-	-
Ποσ. Οργανικών / Organic content (%)	-	-	-	-	-
Κατάταξη / Classification (USCS)	SM	-	-	-	-

ΑΠΟΤΕΛΕΣΜΑΤΑ ΚΟΚΚΟΜΕΤΡΙΚΗΣ ΔΙΑΒΑΘΜΙΣΗΣ / Grain Size Distribution Data

	Κόσκινο Sieve	Διάμετρος Opening (mm)	Διερχόμενο Passing (%)	Κλάσματα Fractions (%)						
Χονδροί Coarse	3''	76.2	100.0	0.0	-	-	-	-	-	-
	2''	50.8	100.0		-	-	-	-	-	-
	1''	25.4	100.0		-	-	-	-	-	-
	3/4''	19.1	100.0		-	-	-	-	-	-
Λεπτοί Fine	1/2''	12.7	100.0	0.3	-	-	-	-	-	-
	3/8''	9.5	100.0		-	-	-	-	-	-
	No 4	4.8	99.7		-	-	-	-	-	-
Χονδρή Coarse	No 8	2.4	99.1	0.8	-	-	-	-	-	-
	No 10	1.9	98.9		-	-	-	-	-	-
Μέση Medium	No 20	0.840	95.7	8.4	-	-	-	-	-	-
	No 40	0.417	90.5		-	-	-	-	-	-
Λεπτή Fine	No 100	0.149	51.9	45.0	-	-	-	-	-	-
	No 200	0.074	45.5		-	-	-	-	-	-
ΙΛΥΣ / SILT			-	45.5	-	-	-	-	-	-
ΑΡΓΙΛΟΣ / CLAY			-		-	-	-	-	-	-

Εκτέλεση δοκιμής/ Test conducted by:

by: X. Vagenas / Ch. Vagenas

Επεξεργασία δεδομένων/ Data processing:

Έλεγχος αποτελεσμάτων/ Results checked by:

To εργαστήριο εποπτεύεται από το ΚΕΔΕ

Εργ. Αρ.
Lab No.

036/2020/ 631

Δ. Σακκής /D. Sakkis
M. Τσουκαλαδάκης / M. Tsoukalidakis

Σ. Γρίφιζα /
S. Grifiza

Μ. Μπαρδάνης/
M. Bardanis

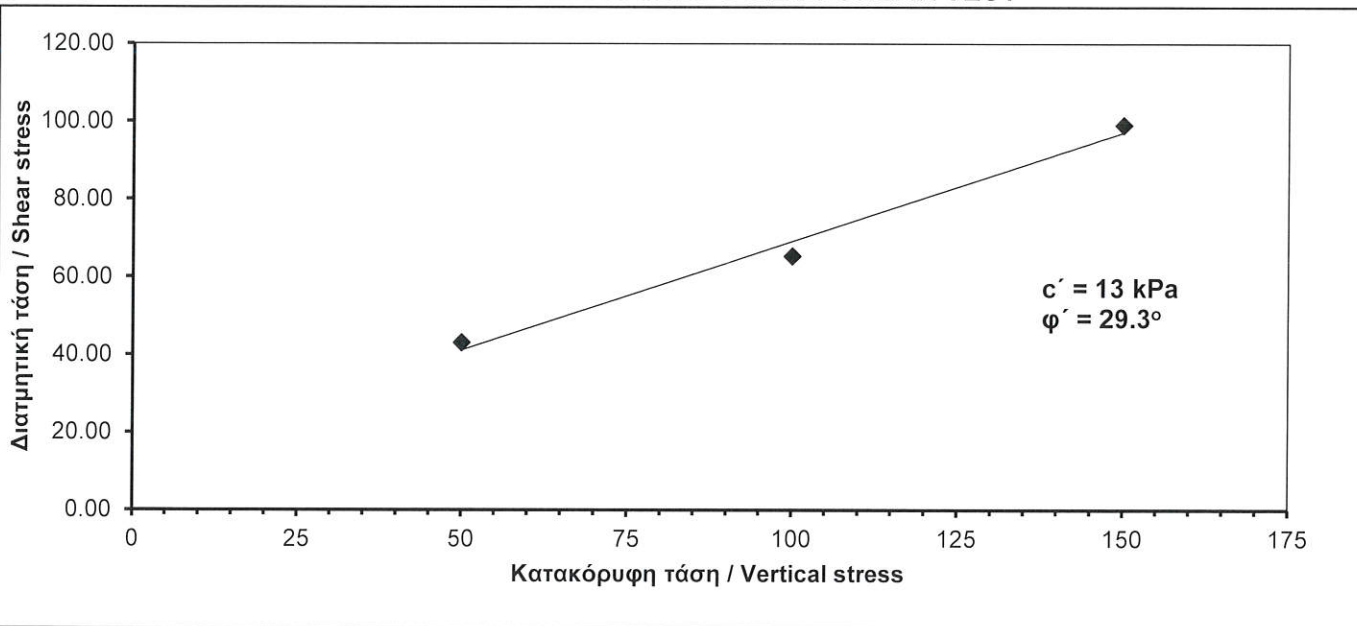
Σελ. / P.

3

Έργο/ Project:

**Restoration works for the Pheidias Workshop at Ancient Olympia.
Geological and Geotechnical investigations and design.**

**ΒΡΑΔΕΙΑ ΔΟΚΙΜΗ ΑΜΕΣΗΣ ΔΙΑΤΜΗΣΗΣ ΜΕ ΣΤΕΡΕΟΠΟΙΗΣΗ (Ε105-86/16)
CONSOLIDATED DRAINED DIRECT SHEAR TEST**

**Μίγμα/Mixture:** S2 & S4**Ημερομηνία/Date:** 15/7/2020

(δοκίμιο Αναζυμωμένο - Διερχόμενο από το #Νο4)

Όριο υδαρότητας/Liquid limit (%):	-		
Όριο πλαστικότητας/Plastic limit (%):	-		
Δείκτης πλαστικότητας/Plasticity index:	-		
Διερχόμενο κοσκ. No.200/Passing sieve No.200 (%):	-		
Ειδικό βάρος στερεών/Specific gravity:	-		
Σημείο	1	2	3
σ_v' (kPa)	50	100	150
τ (kPa)	43.04	65.34	99.09
Ταχ. Μετ/σης (mm/min) Displ. Rate	0.050	0.050	0.050
Ταχ. Παρ/σης (%/min) Strain Rate	0.079	0.079	0.079
w_o (%)	11.00	11.00	11.00
γ_{do} (kN/m ³)	18.50	18.50	18.50
e_o	-	-	-
S_{ro} (%)	-	-	-
w_f (%)	18.72	17.76	17.89
γ_{df} (kN/m ³)	18.05	19.17	19.38
e_f	-	-	-
S_{rf} (%)	-	-	-

Εκτ. Δοκιμής

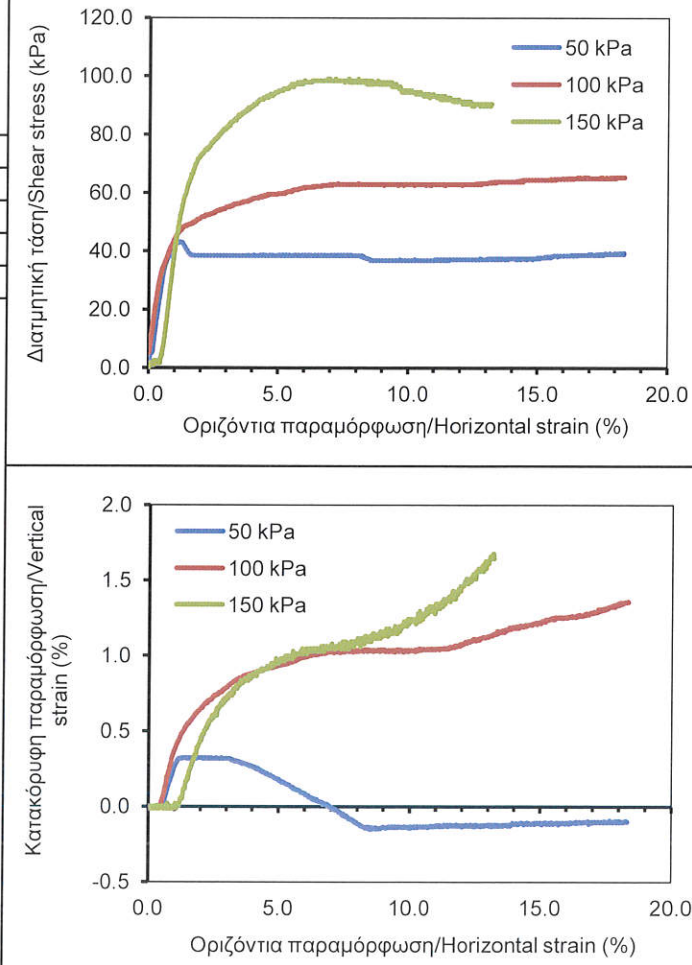
Επεξ. Αποτ/των

Ελεγχος Αποτ/των

Χ. Βαγενάς
M. Τσουκαλαδάκης

Σ. Γρίφιζα

M. Μπαρδάνης



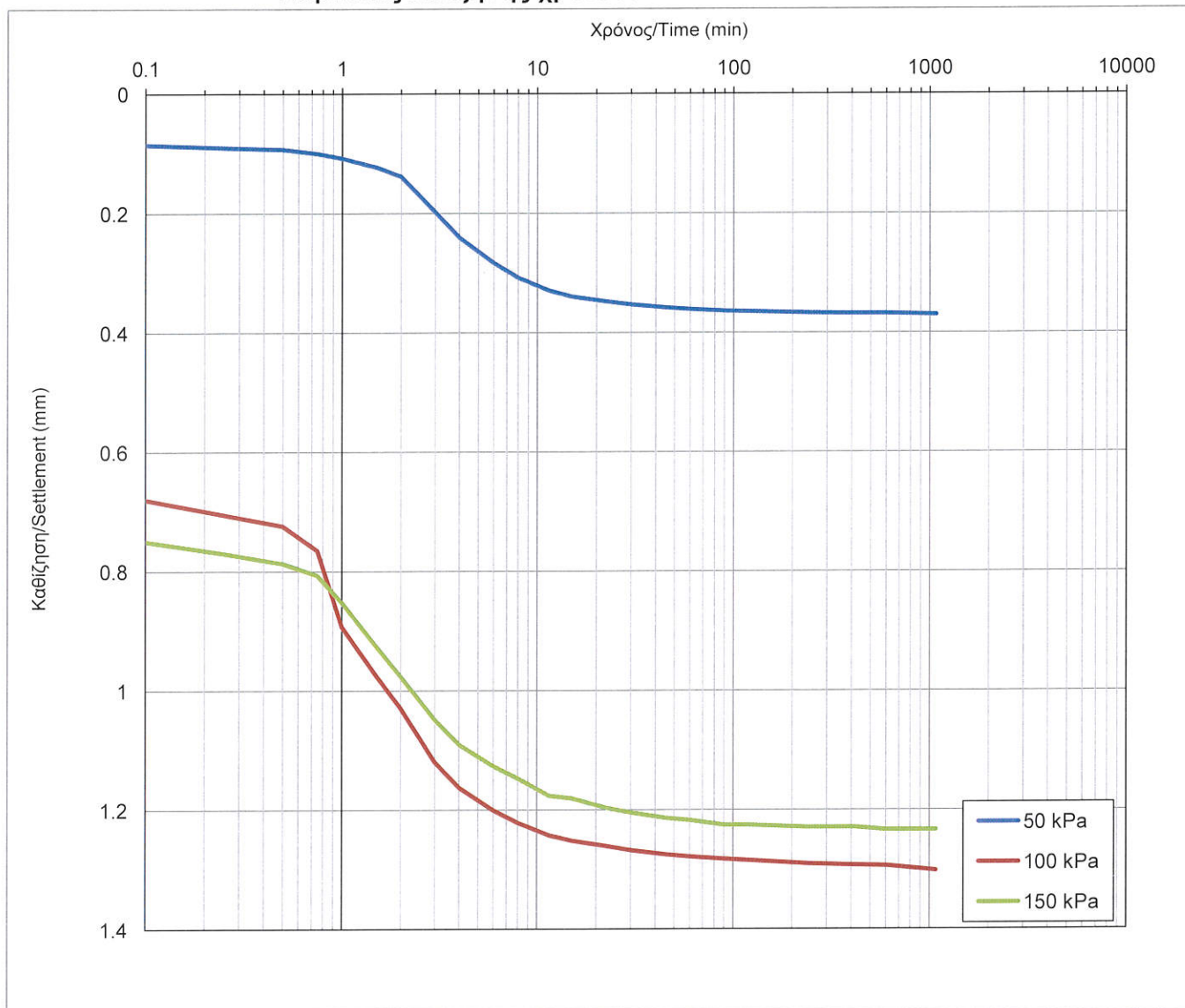
Έργο/ Project:

**Restoration works for the Pheidias Workshop at Ancient Olympia.
Geological and Geotechnical investigations and design.**

**ΒΡΑΔΕΙΑ ΔΟΚΙΜΗ ΑΜΕΣΗΣ ΔΙΑΤΜΗΣΗΣ ΜΕ ΣΤΕΡΕΟΠΟΙΗΣΗ (Ε105-86/16)
CONSOLIDATED DRAINED DIRECT SHEAR TEST**

Μίγμα/Mixture: **S2 & S4**

Καμπύλες καθίζησης-χρόνου / Settlement-time curves



σ_v' (kPa)	t_{50} (min)
50	2.8
100	0.9
150	1.4

Εκτ. Δοκιμής

Επεξ. Αποτ/των

Ελεγχος Αποτ/των

Χ. Βαγενάς
Μ.Τσουκαλαδάκης

Σ.Γρίφιζα

Μ. Μπαρδάνης

Εργ. Αρ.
Lab No.

036/2020/ 624&626

Το εργαστήριο εποπτεύεται από το ΚΕΔΕ

Σελ. 52

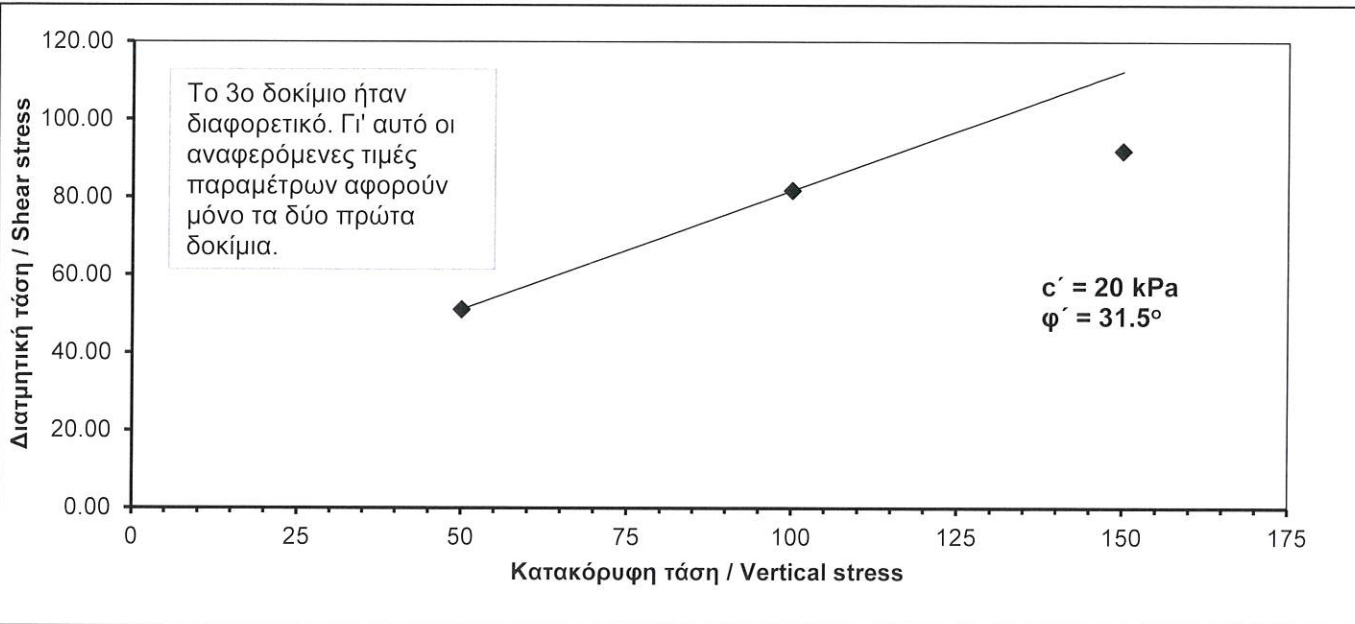
2

Σελ. / P.

Έργο/ Project:

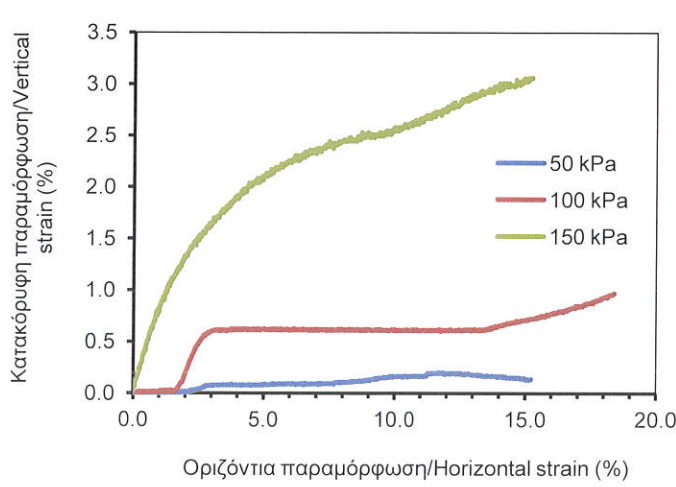
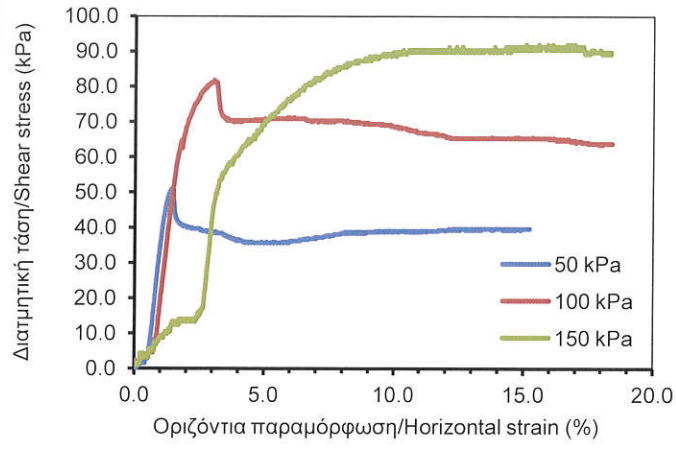
**Restoration works for the Pheidias Workshop at Ancient Olympia.
Geological and Geotechnical investigations and design.**

**ΒΡΑΔΕΙΑ ΔΟΚΙΜΗ ΑΜΕΣΗΣ ΔΙΑΤΜΗΣΗΣ ΜΕ ΣΤΕΡΕΟΠΟΙΗΣΗ (Ε105-86/16)
CONSOLIDATED DRAINED DIRECT SHEAR TEST**

**Μίγμα/Mixture:** S3 & S7**Ημερομηνία/Date:** 16/7/2020

(δοκίμιο Αναζυμωμένο - Διερχόμενο από το #No4)

Όριο υδαρότητας/Liquid limit (%):	-		
Όριο πλαστικότητας/Plastic limit (%):	-		
Δείκτης πλαστικότητας/Plasticity index:	-		
Διερχόμενο κοσκ. No.200/Passing sieve No.200 (%):	-		
Ειδικό βάρος στερεών/Specific gravity:	-		
Σημείο	1	2	3
σ_v (kPa)	50	100	150
τ (kPa)	51.09	81.75	91.97
Ταχ. Μετ/σης (mm/min) Displ. Rate	0.050	0.050	0.050
Ταχ. Παρ/σης (%) Strain Rate	0.079	0.079	0.079
w_o (%)	11.00	11.00	11.00
γ_{d0} (kN/m ³)	18.10	18.15	18.35
e_0	-	-	-
S_{ro} (%)	-	-	-
w_f (%)	18.11	18.72	18.79
γ_{df} (kN/m ³)	18.77	18.12	19.09
e_f	-	-	-
S_{rf} (%)	-	-	-



Εκτ. Δοκιμής

Επεξ. Αποτ/των

Ελεγχος Αποτ/των

Χ. Βαγενάς
Μ.Τσουκαλαδάκης

Σ.Γρίφιζα

Μ. Μπαρδάνης

Εργ. Αρ.

036/2020/ 625&629

Το εργαστήριο εποπτεύεται από το ΚΕΔΕ

Σελ. / P.

Σελ. 53

DAI (Deutsches Archäologisches Institut)

Εκτέλεση δοκιμών: ΕΡΓΑΣΤΗΡΙΟ ΕΔΑΦΟΣ Α.Ε.

Θεραπειών 2, 104 44 Αθήνα, Τηλ. 2105149020, lab@edafos.gr

Tests performed by: EDAFOS S.A. Laboratory

2 Therapion st., 104 44 Athens, Tel. 2105149020, lab@edafos.gr

Έργο/ Project:

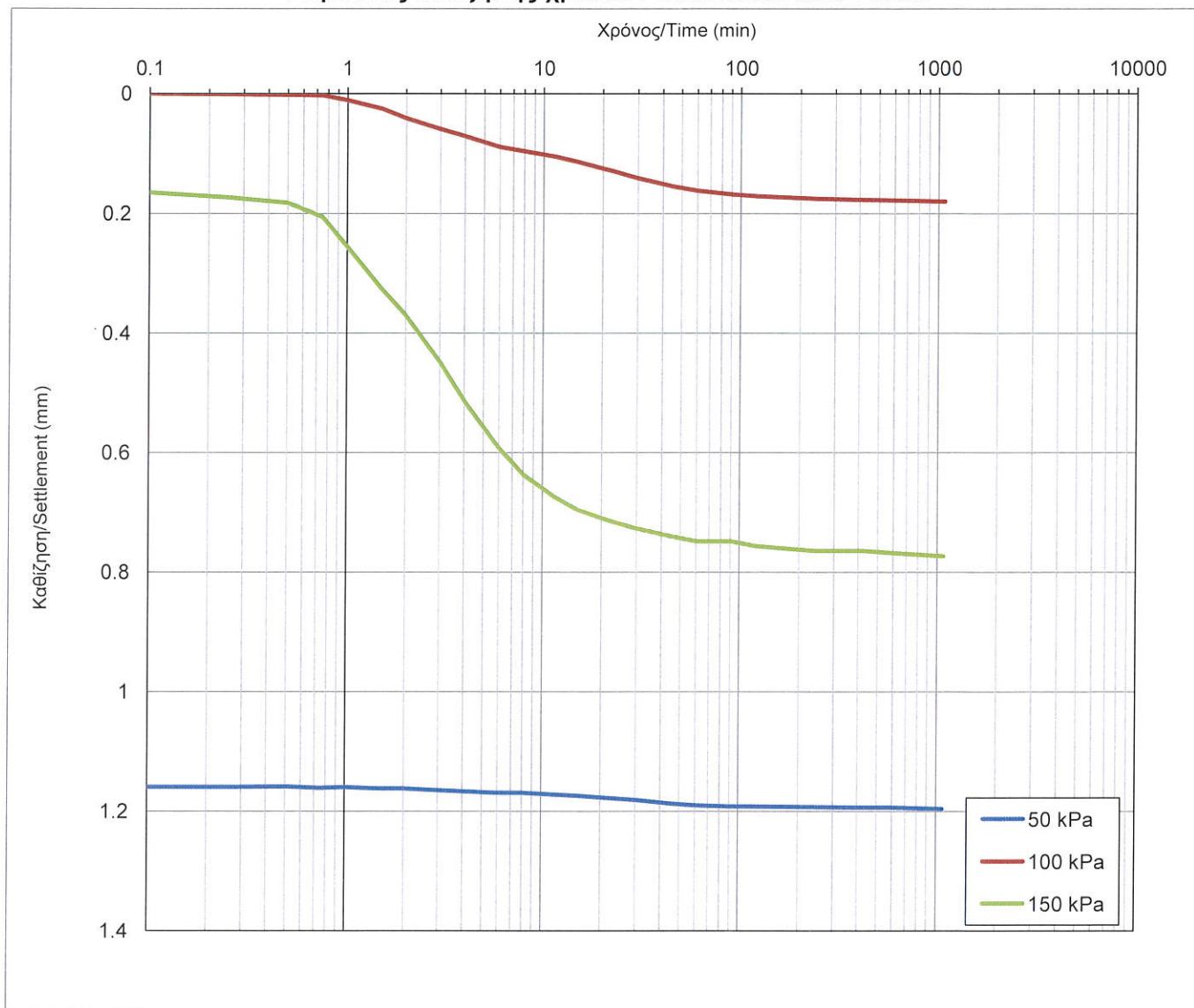
Restoration works for the Pheidias Workshop at Ancient Olympia.
Geological and Geotechnical investigations and design.

ΒΡΑΔΕΙΑ ΔΟΚΙΜΗ ΑΜΕΣΗΣ ΔΙΑΤΜΗΣΗΣ ΜΕ ΣΤΕΡΕΟΠΟΙΗΣΗ (Ε105-86/16)
CONSOLIDATED DRAINED DIRECT SHEAR TEST

Μίγμα/Mixture:

S3 & S7

Καμπύλες καθίζησης-χρόνου / Settlement-time curves



σ_v' (kPa)	t_{50} (min)
50	-
100	3.5
150	2.0

Εκτ. Δοκιμής

Επεξ. Αποτ/των

Ελεγχος Αποτ/των

Χ. Βαγενάς
M. Τσουκαλαδάκης

Σ. Γρίφιζα

Μ. Μπαρδάνης

Εργ. Αρ.

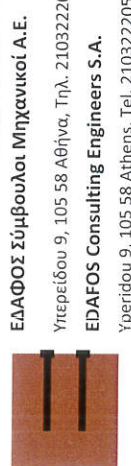
036/2020/ 625&629

Lab No.

To εργαστήριο εποπτεύεται από το ΚΕΔΕ

Σελ. 54

2



ΕΔΑΦΟΣ Σύμβουλος Μηχανικό Α.Ε.

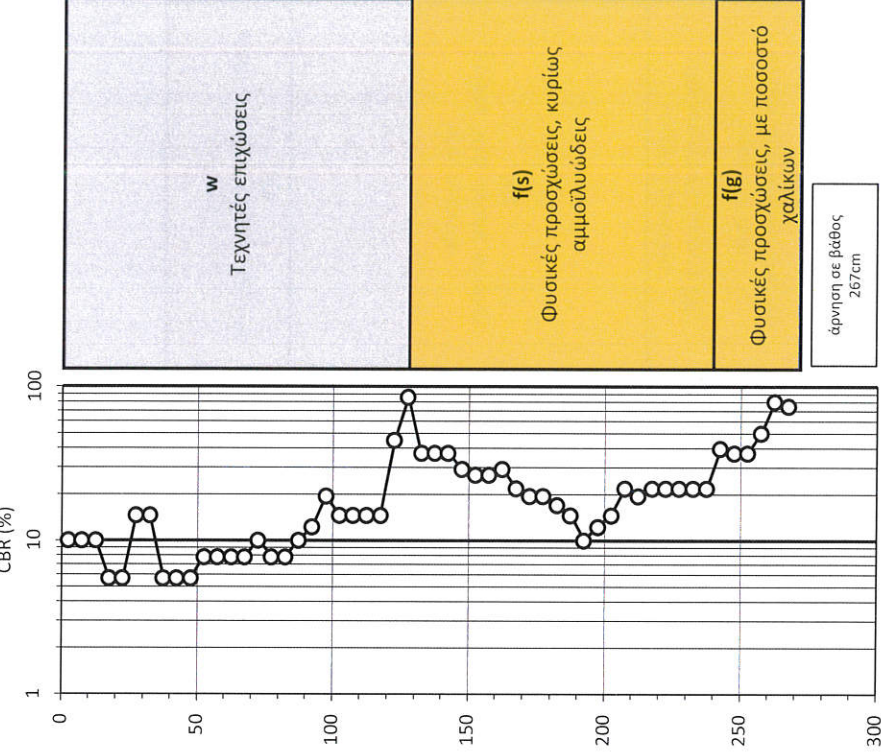
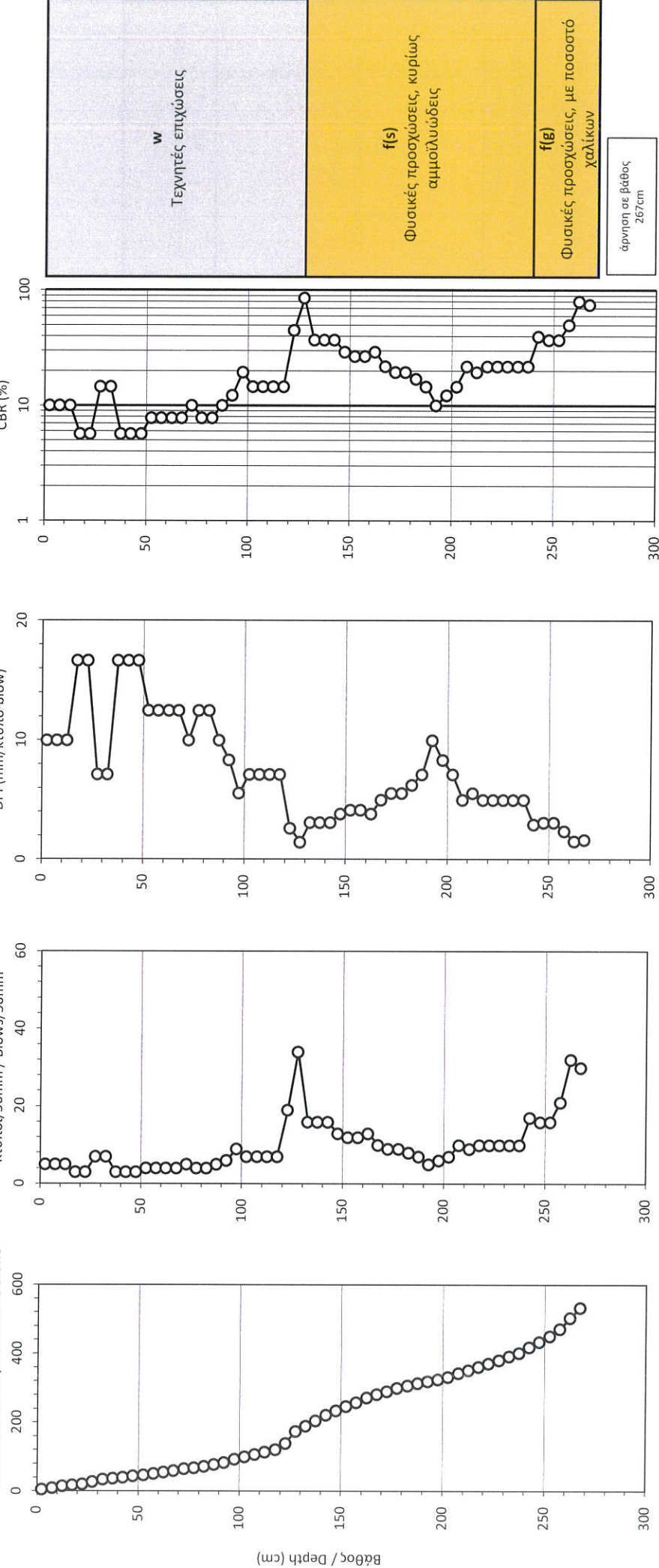
Υπερείδου 9, 105 58 Αθήνα, Τηλ. 2103222050

EDAFOS Consulting Engineers S.A.

Υπερίδου 9, 105 58 Athens, Tel. 2103222050

ΔΟΚΙΜΗ ΕΛΑΦΡΟΥ ΔΥΝΑΜΙΚΟΥ ΠΕΝΕΤΡΟΜΕΤΡΟΥ
DYNAMIC PENETROMETER (LIGHT) TEST
ASTM D6951-03

Συνολικοί κτύποι / Cumulative Blows



Έργο / Project:	ΕΡΓΑΣΤΗΡΙΟ ΦΕΙΔΙΑ
Θέση /Position:	D-1
Ημερομηνία/Date:	06-07-20

Συντεταγμένες/Coordinates: X= Y= Κωδικός Έργου / Project Number: 20-20

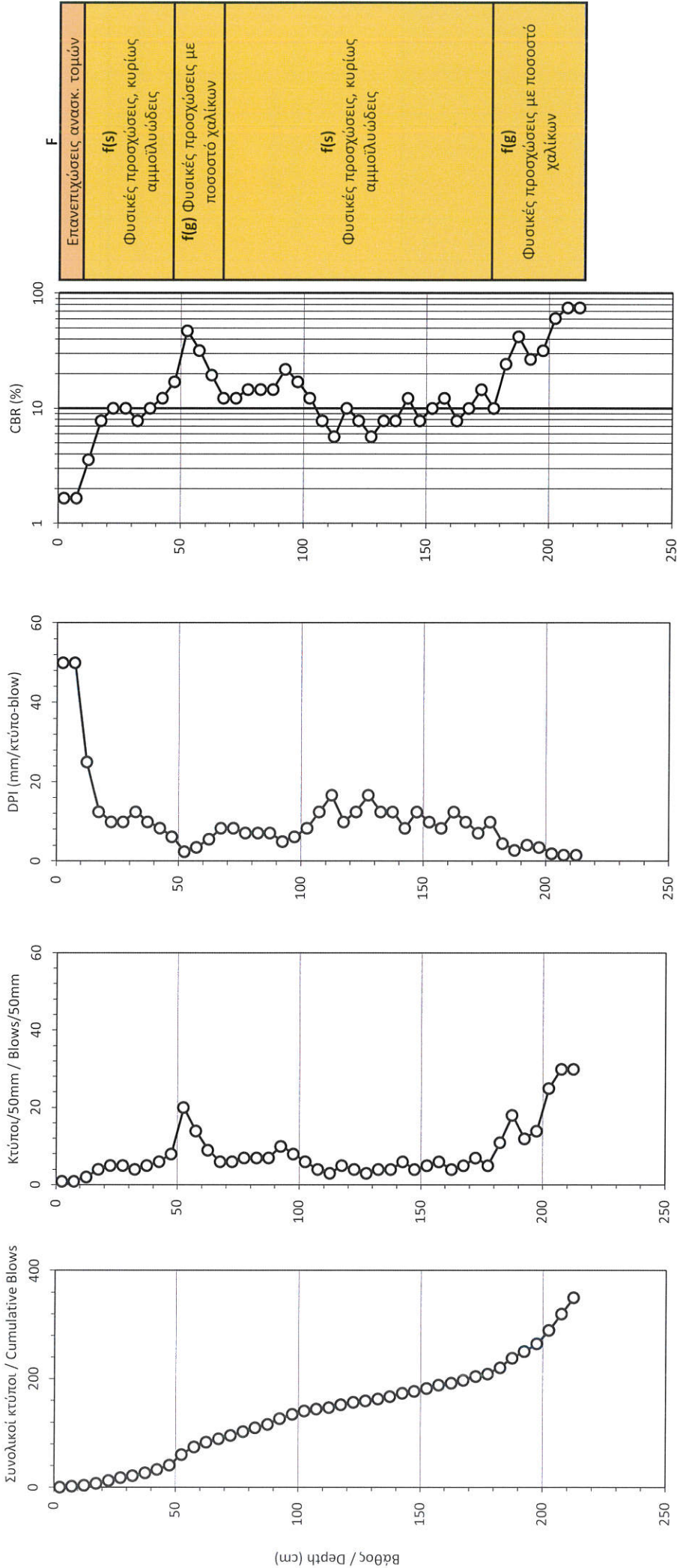
ΕΔΑΦΟΣ Σύμβουλοι Μηχανικοί Α.Ε.

Υπεριδίου 9, 105 58 Αθήνα, Τηλ. 2103222050

EDAFOS Consulting Engineers S.A.

Υπεριδίου 9, 105 58 Athens, Tel. 2103222050

ΔΟΚΙΜΗ ΕΛΑΦΡΟΥ ΔΥΝΑΜΙΚΟΥ ΠΕΝΕΤΡΟΜΕΤΡΟΥ
DYNAMIC PENETROMETER (LIGHT) TEST
ASTM D6951-03

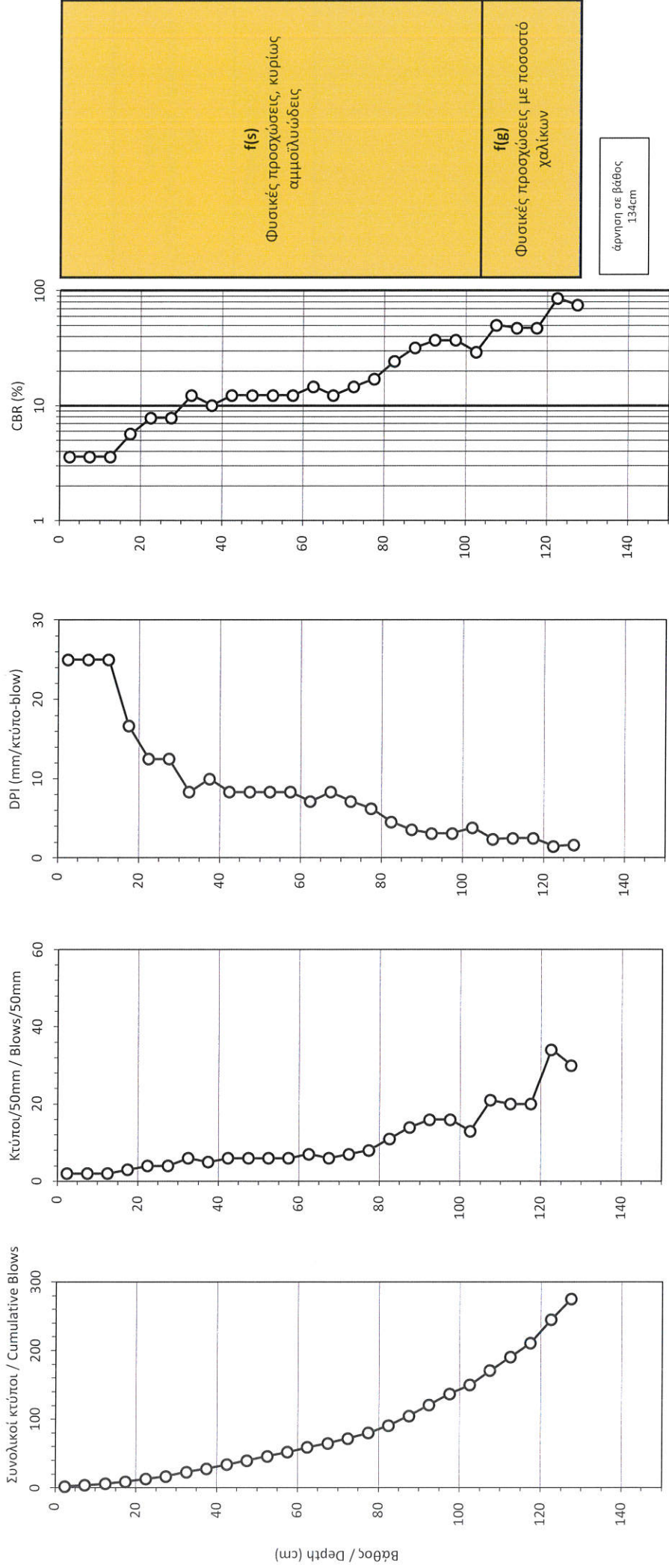


Έργο / Project:	ΕΡΓΑΣΤΗΡΙΟ ΦΕΙΔΙΑ
Θέση / Position:	D-2
Ημερομηνία / Date:	07-07-20
Συντεταγμένες / Coordinates:	X=
	Y=

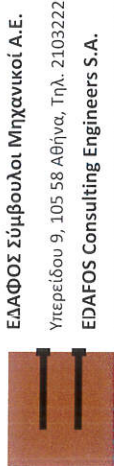
Επιβλέπων / Supervisor	Ε. Λυμπέρης, Γεωλόγος,
	Κωδικός Έργου / Project Number: 20-20

ΕΔΑΦΟΣ Σύμβουλοι Μηχανικοί Α.Ε.
 Υπερίδου 9, 105 58 Αθήνα, Τηλ. 2103222050
EDAFOΣ Consulting Engineers S.A.
 Υπερίδου 9, 105 58 Athens, Tel. 2103222050

ΔΟΚΙΜΗ ΕΛΑΦΡΟΥ ΔΥΝΑΜΙΚΟΥ ΠΕΝΕΤΡΟΜΕΤΡΟΥ
 DYNAMIC PENETROMETER (LIGHT) TEST
 ASTM D6951-03



Έργο/ Project:	ΕΡΓΑΣΤΗΡΙΟ ΦΕΙΔΙΑ		
Θέση/Position:	D-3	Συντεταγμένες/Coordinates:	X= Y=
Ημερομηνία/Date:	07-07-20		
			Κωδικός Έργου / Project Number: 20-20



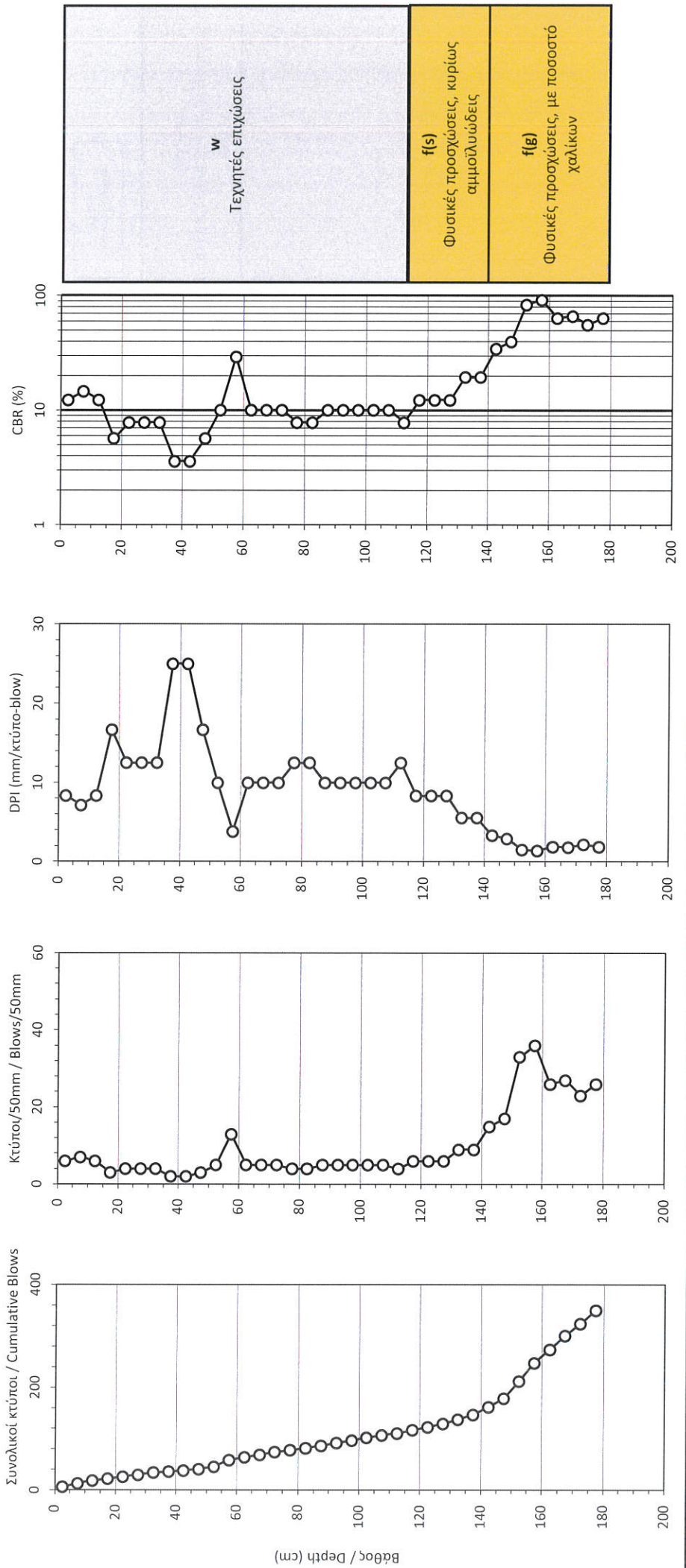
ΕΔΑΦΟΣ Σύμβουλοι Μηχανικοί Α.Ε.

Υπεριδίου 9, 105 58 Αθήνα, Τηλ. 2103222050

EDAFOS Consulting Engineers S.A.

Υπεριδίου 9, 105 58 Athens, Tel. 2103222050

ΔΟΚΙΜΗ ΕΛΑΦΡΟΥ ΔΥΝΑΜΙΚΟΥ ΠΕΝΕΤΡΟΜΕΤΡΟΥ
DYNAMIC PENETROMETER (LIGHT) TEST
ASTM D6951-03

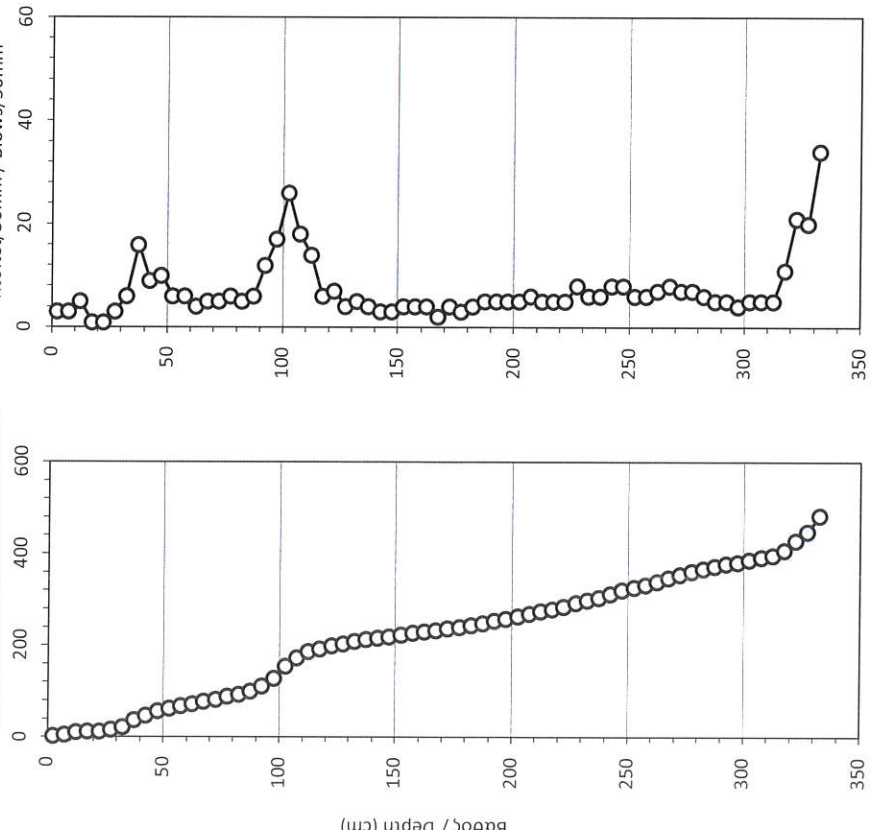


Έργο / Project:	ΕΡΓΑΣΤΗΡΙΟ ΦΕΙΔΙΑ	Ε. Λυμπέρης, Γεωλόγος
Θέση / Position:	D-4	
Ημερομηνία / Date:	07-07-20	Συντεταγμένες / Coordinates: X= Y= Z= Κωδικός Έργου / Project Number: 20-20

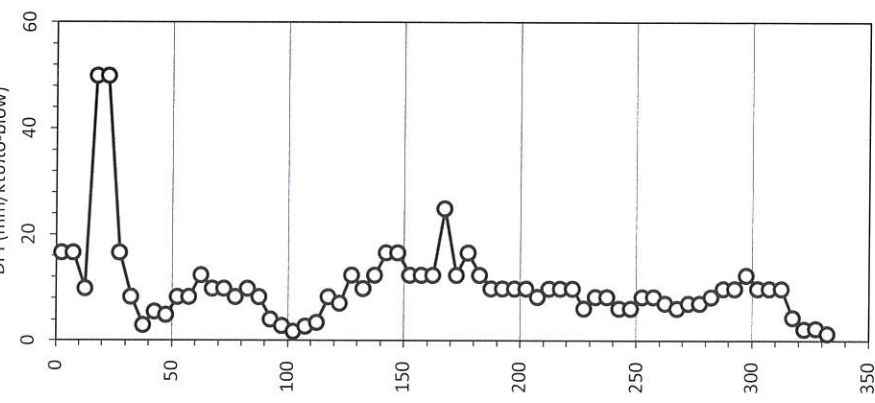
ΕΔΑΦΟΣ Συμβούλοι Μηχανικοί Α.Ε.
 Υπερίδου 9, 105 58 Αθήνα, Τηλ. 2103222050
EDAFOS Consulting Engineers S.A.
 Υπερίδου 9, 105 58 Athens, Tel. 2103222050

ΔΟΚΙΜΗ ΕΛΑΦΡΟΥ ΔΥΝΑΜΙΚΟΥ ΠΕΝΕΤΡΟΜΕΤΡΟΥ
DYNAMIC PENETROMETER (LIGHT) TEST
 ASTM D6951-03

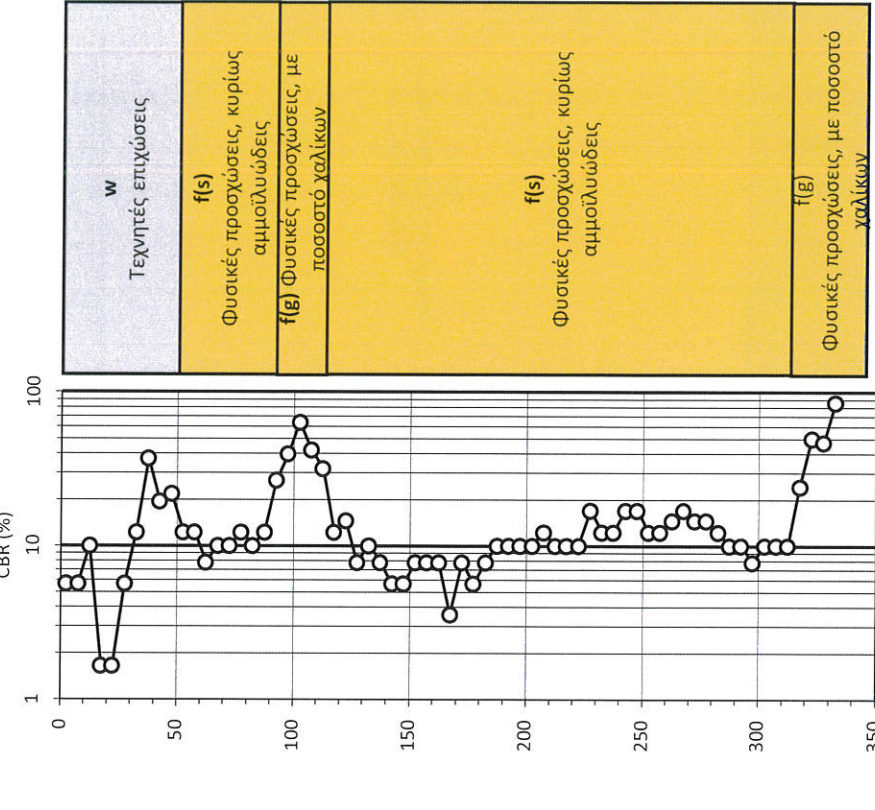
Συνολικοί κτύποι / Cumulative Blows



Κτύποι/50mm / Blows/50mm



Συνολικοί κτύποι / Cumulative Blows



Τεχνητές επιχώσεις

w
f(s)
 Φυσικές προσχώσεις, κυρίως αγματιλυσάδεις
f(g) Φυσικές προσχώσεις, με ποσοστό λαλίκων

f(s)
 Φυσικές προσχώσεις, κυρίως αγματιλυσάδεις

f(g)
 Φυσικές προσχώσεις, με ποσοστό λαλίκων

Επιβλέπον / Supervisor

Ε. Λυμπέρης, Γεωλόγος

Κωδικός Έργου / Project Number: 20-20

Έργο/ Project:

ΕΡΓΑΣΤΗΡΙΟ ΦΕΙΔΑ

D-5

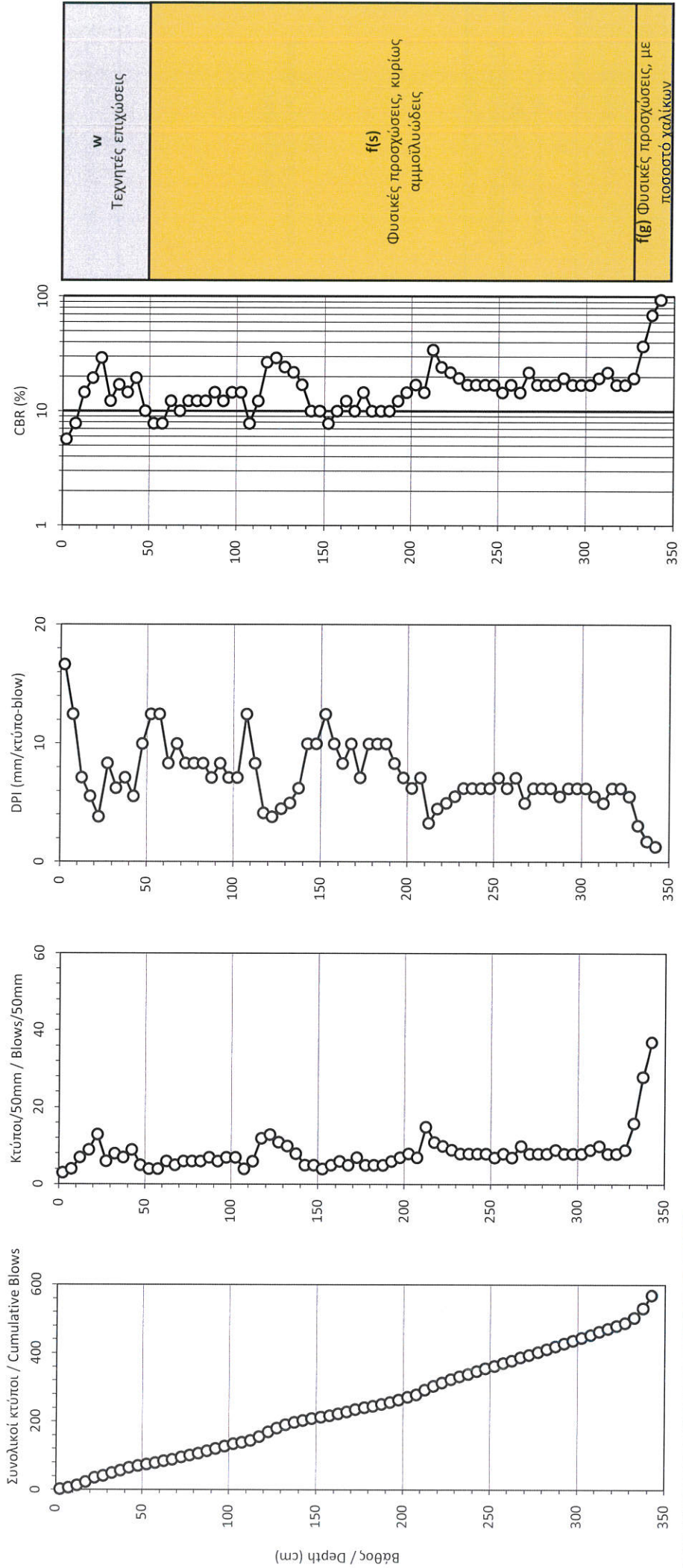
Θέση/Position:

Συντεταγμένες/Coordinates:

X=

Y=

Z=



Έργο/Project:	ΕΡΓΑΣΤΗΡΙΟ ΦΕΙΔΑ
Θέση/Position:	D-6
Ημερομηνία/Date:	07-07-20

Συντεταγμένες/Coordinates: X= Y=

Κωδικός Έργου / Project Number: 20-20

Επιβλέπον / Supervisor

Ε. Λυμπέρης, Γεωλόγος

Τεχνητές επιχώσεις
f(s)

Φυσικές προσχώσεις, κυρίως αμμοίλιυδες

f(g) Φυσικές προσχώσεις, με ποσοστό χαλκικων

ΠΑΡΑΡΤΗΜΑ Γ ΠΙΝΑΚΕΣ ΑΞΙΟΛΟΓΗΣΗΣ

Πίνακας 1: Αποτελέσματα εργαστηριακών δοκιμών εδαφορμχανικής - φυσικά χαρακτηριστικά

Γεωργηση	Ειδος (m)	Κοκκομετρική διαβάθυνση										Ορια Atterberg		
		Άμμος					Χάλκες							
		Λεπτόκοκκα	Σύνολο	Λεπτή	Μέση	Χανδρή	Συνολική Άμμος	Λεπτοί	Χανδροί	Σύνολο Χαλκίων	Κατάστη κατά U.S.C.S.	W	W _L	W _P
Αργιλος	Ιλύς	(%)	(%)	(%)	(%)	(%)	(%)	(%)	(%)	(%)	(%)	(%)	(%)	(%)
S1	Εδαφικό Υλικά εκσκαφής – Επανεπιχώσεις ανασκαφών γεωφυσικό. Τεχνητές επιχώσεις κτηρίου – Υλικό θεμελίωσης (w & f(s))	50.90	50.9	36.7	4.6	2.2	43.5	5.6	0.0	5.6	ML	11.0	N.P.	-
S2	Εδαφικό Τεχνητές επιχώσεις κτηρίου (w)	46.70	46.6	41.4	6.7	2.9	51.0	2.4	0.0	2.4	SM	13.9	N.P.	-
S3	Εδαφικό Τεχνητές επιχώσεις κτηρίου (w)	46.60	46.5	28.2	12.5	3.8	44.5	5.0	4.0	9.0	SM	6.5	N.P.	-
S4	Εδαφικός, Υλικό στην έδραση του τοίχου (f(s))	41.50	41.5	40.7	8.3	3.4	52.4	6.1	0.0	6.1	SM	9.0	N.P.	-
S5	Εδαφικό, Υλικό επανεπιχώσης ανασκαφών (r)	38.10	38.1	49.6	4.6	2.1	56.3	5.6	0.0	5.6	SM	6.1	N.P.	-
S6	Εδαφικό, Υλικό στην έδραση του τοίχου (f(s))	16.10	16.1	80.0	3.9	0.0	83.9	0.0	0.0	0.0	SM	6.5	N.P.	-
S7	Υλικό προσχώσεων από αλικά καταστροφής του αρχαιολογικού χώρου και φυσικών προσχώσεων (g).	46.80	46.8	25.6	4.9	2.3	32.8	4.9	15.5	20.4	SC	4.3	26.8	16.9
S8	Εδαφικό, Πρόσφατες προσχώσεις, με επικράτηση των φυσικών αποθέσεων (df)	67.10	67.1	26.6	5.3	0.9	32.8	0.1	0.0	0.1	ML	3.6	N.P.	-
S9	Εδαφικό, Πρόσφατες προσχώσεις, με επικράτηση των φυσικών αποθέσεων (df)	45.50	45.5	45.0	8.4	0.8	54.2	0.3	0.0	0.3	SM	3.3	N.P.	-

Πίνακας 2: Αποτελέσματα εργαστηριακών δοκιμών εδαφομηχανικής - μηχανικές ιδιότητες

Γεώτρηση	Είδος (m)	Κατάταξη κατά U.S.C.S.	Βραδεία δοκιμή άμεσης διάτμησης με στερεοποίηση/CD	
			c'	φ'
			(kPa)	(°)
S3 & S7	Εδαφικό. Τεχνητές επιχώσεις κτηρίου (w)	SM	20	31.5
S2 & S4	Εδαφικό. Τεχνητές επιχώσεις κτηρίου – Υλικό θεμελίωσης (w & f(s))	SM	13	29.3

Πίνακας Γ1: Αποτελέσματα εργαστηριακών δοκιμών εδαφομηχανικής φυσικά χαρακτηριστικά σε δείγματα ΕΠΑΝΕΠΙΧΩΣΕΩΝ ΑΝΑΣΚΑΦΩΝ (MALLWITZ) (r)

Γεωργιού Borehole	Είδος	Hydrometer / αραιόμετρο						Ποσοστό Υγροσίας Water content						'Ορια Atterberg Atterberg limits			
		Αργιλός	Ιλύς	Αργιλούνσ	Αμμος / sand			Χάλικες / Gravels	Χάλικες / Gravels	Χάλικες / Gravels	Χάλικες / Gravels	Χάλικες / Gravels	Κατάταξη κατά Classification U.S.C.S.	W _L	W _P	P=W _L -W _P	
		(%)	(%)	(%)	Λεπτή / Fine	Μέση / medium	Χονδρη / Coarse	Αμμος / sand	Λεπτοί / Fine	Χονδροί / Coarse	Λεπτοί / Fine	Χονδροί / Coarse	(%)	(%)	(%)	-	
S1	Εδωφικό Υλικά εκσαφής – Επανεπιχώσεις ανασκαφών r	50.90	50.9	36.7	4.6	2.2	43.5	5.6	0.0	5.6	ML	11.0	N.P.				
S5	Εδωφικό Υλικό επανεπιχώσης ανασκαφών r	38.10	38.1	49.6	4.6	2.1	56.3	5.6	0.0	5.6	SM	6.1	N.P.				
Μέσος όρος			44.5				49.9			5.6		8.6					
Ελάχιστη τιμή			38.1				43.5			5.6		6.1					
Μέγιστη τιμή			50.9				56.3			5.6		11.0					
Πληθωρισμός			2				2			2		2					

Πίνακας Γ2: Αποτελέσματα εργαστηριακών δοκιμών εδαφομηχανικής φυσικά χαρακτηριστικά σε δείγματα ΤΕΧΝΗΤΩΝ ΕΠΙΧΩΣΕΩΝ ΣΤΟ ΠΛΑΙΣΙΟ ΚΑΤΑΣΚΕΥΗΣ ΚΑΙ ΛΕΙΤΟΥΡΓΙΑΣ ΤΟΥ ΑΡΧΑΙΟΛΟΓΙΚΟΥ ΧΩΡΟΥ (W)

Γεωργιού Βούρη	Ειδός	Hydrometer / σραϊόμετρο				Αμμος / sand	Χάλικες / Gravels	Χαλικές / Gravels	Κατάταξη κατά Classification U.S.C.S.	Ποσοστό Υγρασίας Water content			'Όρα Afterberg Afterberg limits		
		Αργιλός	Ιλας	Αργιλούλις	Λεπτή / Fine					Λεπτοί / Fine	Χονδροί / Coarse				
		(%)	(%)	(%)	(%)					(%)	(%)				
S3	Εδαφικό. Τεχνητές επιχώσεις κτηρίου (W)	46.60	46.5	28.2	12.5	3.8	44.5	5.0	4.0	9.0	SM	6.5	N.P.		
S7	Υγιός πρασχώσασαν από υλικά καταστροφής του αρχαιολογικού χώρου και φυσικών προσχύσεων (d)	46.80	46.8	25.6	4.9	2.3	32.8	4.9	15.5	20.4	SC	4.3	26.8	16.9	9.9
Μέσος όρος		46.7					38.7			14.7		5.4	26.8	16.9	9.9
Ελάχιστη τιμή		46.5					32.8			9.0		4.3	26.8	16.9	9.9
Μέγιστη τιμή		46.8					44.5			20.4		6.5	26.8	16.9	9.9
Γλίβος		2					2			2		2	1	1	1

Πίνακας Γ3: Αποτελέσματα εργαστηριακών δοκιμών εδαφομηχανικής φυσικά χαρακτηριστικά σε δειγματα ΚΑΤΩΤΕΡΩΝ φυσικών προσχολεών F(S)+(G)

Γεώργιος Borehole	Ειδός	Hydrometer / αραιομετρο						Ποσοστό Υγρασίας Water content						'Ορια Atterberg Atterberg limits			
		Αγγιός Clay	Ιλύς Silt	Αργιλούς Fines	Λεπτή / Fine	Μίση / medium	Χονδρή / Coarse	Αμμος / sand	Χάλκες / Gravels	Χάλκες / Gravels	Λεπτοί / Fine	Χονδροί / Coarse	Καταρξη κατά Classification U.S.C.S.	W	W _L	W _P	P= W _L /W _P
		(%)	(%)	(%)	(%)	(%)	(%)	(%)	(%)	(%)	(%)	(%)	(%)	(%)	(%)	-	
S2	Εδαφικό Τεχνητές επιχώσεις κτηρίου – Υγιός θερμοπλαστικών (w & f(s))	46.70	46.6	41.4	6.7	2.9	51.0	2.4	0.0	2.4	SM	13.9	N.P.				
S4	Εδαφικός Υγιός στην έδραση του τοίχου (f(s))	41.50	41.5	40.7	8.3	3.4	52.4	6.1	0.0	6.1	SM	9.0	N.P.				
S6	Εδαφικό Υγιός στην έδραση του τοίχου (f(s))	16.10	16.1	80.0	3.9	0.0	83.9	0.0	0.0	0.0	SM	6.5	N.P.				
Μέσος όρος		34.7					62.4			2.8		9.8					
Ελάχιστη τιμή			16.1				51.0			0.0		6.5					
Μέγιστη τιμή			46.6				83.9			6.1		13.9					
Πλήθος			3				3			3		3					

ΠΑΡΑΡΤΗΜΑ Δ ΓΕΩΤΕΧΝΙΚΟΙ ΥΠΟΛΟΓΙΣΜΟΙ

**BEARING CAPACITY
EUROCODE 7**

ΕΡΓΟ Γεωλογικές και Γεωτεχνικές έρευνες και μελέτες για τις εργασίες
αποκατάστασης του Εργαστηρίου Φειδία στην Αρχαία Ολυμπία

Στατικές - Στραγγιζόμενες Συνθήκες - Έδραση νότιου στηλοβάτη

$$R/A' = cN_c b_c s_c i_c + q' N_q b_q s_q i_q + 0.5 \gamma' B' N_y b_y s_y i_y$$

$$N_q = e^{\pi \tan \phi} \tan^2(45+\phi/2)$$

$$N_c = (N_q - 1) \cot \phi$$

$$N_y = 2.0 (N_q - 1) \tan \phi$$

Συντελεστές Σχήματος

$$s_q = 1 + (B'/L') \times \sin \phi'$$

για παραλληλόγραμμο σχήμα

$$s_q = 1 + \sin \phi'$$

για τετράγωνο ή κυκλικό σχήμα

$$s_y = 1 - 0.3 \times (B'/L')$$

για παραλληλόγραμμο σχήμα

$$s_y = 0.7$$

για τετράγωνο ή κυκλικό σχήμα

$$s_c = ((s_q \times N_q) - 1) / (N_q - 1)$$

για κάθε σχήμα

Συντελεστές Βάσης

$$b_q = b_y = (1 - \alpha \tan \phi')^2$$

$$b_c = b_q - (1 - b_q) / (N_c \tan \phi')$$

Συντελεστές κλίσης φορτίου

$$i_q = (1 - H/(V + A'c \cot \phi'))^m$$

$$i_c = i_q - (1 - i_q) / (N_c \tan \phi')$$

$$i_y = (1 - H/(V + A'c \cot \phi'))^{(m+1)}$$

$$m = m_B = (2 + (B'/L')) / (1 + (B'/L'))$$

όταν το Η δρα κατά τη B' διεύθυνση

$$m = m_L = (2 + (L'/B')) / (1 + (L'/B'))$$

όταν το Η δρα κατά τη L' διεύθυνση

$$m = m_\theta = m_L \cos^2 \theta + m_b \sin^2 \theta$$

όταν το Η δρα κατά διεύθυνση που σχηματίζει γωνία θ με τη διεύθυνση του L'

Συντελεστές κλίσης εδάφους

$$g_q = 1 - \beta / 147$$

$$g_c = g_y = (1 - 0.5 \tan \beta)^5$$

ΔΕΔΟΜΕΝΑ

$\gamma t_{\text{πάνω}}$	18	18	18	18	18	18
$\gamma t_{\text{κάτω}}$	18	18	18	18	18	18
$\phi (^\circ)$	32.0	32.0	32.0	32.0	32.0	32.0
$c (\text{kPa})$	10.0	10.0	10.0	10.0	10.0	10.0
$\beta (^\circ)$	0	0	0	0	0	0
$D (\text{m})$	0	0	0	0	0	0
$B (\text{m})$	0.7	0.7	0.7	0.7	0.7	0.7
$L (\text{m})$	0.70	1.00	1.50	2.00	2.50	3.00
$ex (\text{m})$	0	0	0	0	0	0
$ey (\text{m})$	0	0	0	0	0	0
$B' (\text{m})$	0.70	0.70	0.70	0.70	0.70	0.70
$L' (\text{m})$	0.70	1.00	1.50	2.00	2.50	3.00
B'/L'	1.00	0.70	0.47	0.35	0.28	0.23
$\gamma_{R,y}$	1.4	1.4	1.4	1.4	1.4	1.4

ΑΠΟΤΕΛΕΣΜΑΤΑ

q	0.00	0.00	0.00	0.00	0.00	0.00
N_q	19.700	19.700	19.700	19.700	19.700	19.700
N_c	35.912	35.912	35.912	35.912	35.912	35.912
N_y	23.370	23.370	23.370	23.370	23.370	23.370
s_q	1.530	1.371	1.247	1.185	1.148	1.124
s_c	1.558	1.391	1.261	1.195	1.156	1.130
s_y	0.700	0.790	0.860	0.895	0.916	0.930
i_q	1.0	1.0	1.0	1.0	1.0	1.0
i_c	1.0	1.0	1.0	1.0	1.0	1.0
i_y	1.0	1.0	1.0	1.0	1.0	1.0
$R/A (\text{kPa})$	663	616	579	561	550	543
$R_k (\text{kN})$	325	431	608	785	963	1,140
$R_d (\text{kN})$	232	308	434	561	688	814

SETTLEMENTS OF A RECTANGULAR FOOTING RESTING
ON A MULTI-LAYERED ISOTROPIC ELASTIC MEDIA
ACCORDING TO STEINBRENNER AND FOX

PROJECT : Γεωλογικές και Γεωτεχνικές έρευνες και μελέτες για τις
εργασίες αποκατάστασης του Εργαστηρίου Φειδία στην Αρχαία Ολυμπία

INPUT DATA

FOOTING DIMENSIONS : WIDTH : .700
LENGTH : 1.000
EMBEDMENT DEPTH : .000
CONTACT PRESSURE : 50.00

	BASE DEPTH (m)	YOUNGS MODULUS (MN/m ²)	POISSONS RATIO
LAYER 1	10.00	24.00	.30

CALCULATIONS

SETTLEMENT AT THE CORNER Scorner = .80945E-03 m
SETTLEMENT AT THE CENTER Scenter = .16907E-02 m

INPUT DATA

FOOTING DIMENSIONS : WIDTH : .700
LENGTH : 1.000
EMBEDMENT DEPTH : .000
CONTACT PRESSURE : 100.00

	BASE DEPTH (m)	YOUNGS MODULUS (MN/m ²)	POISSONS RATIO
LAYER 1	10.00	24.00	.30

CALCULATIONS

SETTLEMENT AT THE CORNER Scorner = .16189E-02 m
SETTLEMENT AT THE CENTER Scenter = .33815E-02 m

#

INPUT DATA

=====

FOOTING DIMENSIONS : WIDTH : .700
LENGTH : 1.000
EMBEDMENT DEPTH : .000
CONTACT PRESSURE : 150.00

	BASE DEPTH (m)	YOUNGS MODULUS (MN/m ²)	POISSONS RATIO
LAYER 1	10.00	24.00	.30

CALCULATIONS

=====

SETTLEMENT AT THE CORNER Scorner = .24283E-02 m
SETTLEMENT AT THE CENTER Scenter = .50722E-02 m

INPUT DATA

=====

FOOTING DIMENSIONS : WIDTH : .700
LENGTH : 1.500
EMBEDMENT DEPTH : .000
CONTACT PRESSURE : 50.00

	BASE DEPTH (m)	YOUNGS MODULUS (MN/m ²)	POISSONS RATIO
LAYER 1	10.00	24.00	.30

CALCULATIONS

=====

SETTLEMENT AT THE CORNER Scorner = .93676E-03 m
SETTLEMENT AT THE CENTER Scenter = .19806E-02 m

#

INPUT DATA

=====

FOOTING DIMENSIONS : WIDTH : .700
LENGTH : 1.500
EMBEDMENT DEPTH : .000
CONTACT PRESSURE : 100.00

	BASE DEPTH (m)	YOUNGS MODULUS (MN/m ²)	POISSONS RATIO
LAYER 1	10.00	24.00	.30

CALCULATIONS

=====

SETTLEMENT AT THE CORNER Scorner = .18735E-02 m
SETTLEMENT AT THE CENTER Scenter = .39612E-02 m

INPUT DATA

=====

FOOTING DIMENSIONS : WIDTH : .700
LENGTH : 1.500
EMBEDMENT DEPTH : .000
CONTACT PRESSURE : 150.00

	BASE DEPTH (m)	YOUNGS MODULUS (MN/m ²)	POISSONS RATIO
LAYER 1	10.00	24.00	.30

CALCULATIONS

=====

SETTLEMENT AT THE CORNER Scorner = .28103E-02 m
SETTLEMENT AT THE CENTER Scenter = .59418E-02 m

#

INPUT DATA

=====

FOOTING DIMENSIONS : WIDTH : .700
LENGTH : 3.000
EMBEDMENT DEPTH : .000
CONTACT PRESSURE : 50.00

	BASE DEPTH (m)	YOUNGS MODULUS (MN/m ²)	POISSONS RATIO
LAYER 1	10.00	24.00	.30

CALCULATIONS

=====

SETTLEMENT AT THE CORNER Scorner = .11206E-02 m
SETTLEMENT AT THE CENTER Scenter = .24480E-02 m

INPUT DATA

=====

FOOTING DIMENSIONS : WIDTH : .700
LENGTH : 3.000
EMBEDMENT DEPTH : .000
CONTACT PRESSURE : 100.00

	BASE DEPTH (m)	YOUNGS MODULUS (MN/m ²)	POISSONS RATIO
LAYER 1	10.00	24.00	.30

CALCULATIONS

=====

SETTLEMENT AT THE CORNER Scorner = .22411E-02 m
SETTLEMENT AT THE CENTER Scenter = .48961E-02 m

#

INPUT DATA

=====

FOOTING DIMENSIONS : WIDTH : .700
LENGTH : 3.000
EMBEDMENT DEPTH : .000
CONTACT PRESSURE : 150.00

	BASE DEPTH (m)	YOUNGS MODULUS (MN/m ²)	POISSONS RATIO
LAYER 1	10.00	24.00	.30

CALCULATIONS

=====

SETTLEMENT AT THE CORNER Scorner = .33617E-02 m
SETTLEMENT AT THE CENTER Scenter = .73441E-02 m



Ε Δ Α Φ Ο Σ
ΣΥΜΒΟΥΛΟΙ ΜΗΧΑΝΙΚΟΙ Α.Ε.

Κεντρικά Γραφεία: Υπερείδου 9, 10558 Αθήνα,
Τηλ.: 210 3222050, Fax: 210 3241607, e-mail: admin@edafos.gr
Εργαστήριο: Θεραπειών 2, 10444 Αθήνα, Τηλ: 2105149020,
Fax: 2105149038, e-mail: lab@edafos.gr
www.edafos.gr

Πληροφορίες:

